

## Evaluation of Physiological Growth Analysis of some Quinoa (*Chenopodium quinoa* Willd.) Varieties under Different Moisture Levels in Spring and Summer Planting Dates at South Khorasan Region

F. Golestanifar<sup>1</sup>, S. Mahmoodi<sup>2,4\*</sup>, H. R. Fallahi<sup>2,4</sup>, A. Shahidi<sup>3</sup>

1- PhD Student of Agronomy, Department of Plant Production and Genetics, Faculty of Agriculture, University of Birjand, Iran

2- Associate Professor, Department of Plant Production and Genetics, Faculty of Agriculture, University of Birjand, Birjand, Iran

3- Associate Professor, Department of Water Engineering, University of Birjand, Birjand, Iran

4- Plant and Environmental Stresses Research Group, Faculty of Agriculture, University of Birjand, Birjand, Iran

(\*- Corresponding Author Email: [smahmoodi@birjand.ac.ir](mailto:smahmoodi@birjand.ac.ir))

Received: 16 June 2023  
Revised: 28 August 2023  
Accepted: 30 August 2023  
Available Online: 30 August 2023

### How to cite this article:

Golestanifar, F., Mahmoodi, S., Fallahi, H. R., & Shahidi, A. (2024). Evaluation of Physiological Growth Analysis of some Quinoa (*Chenopodium quinoa* Willd.) Varieties under Different Moisture Levels in Spring and Summer Planting Dates at South Khorasan Region. *Iranian Journal of Field Crops Research*, 22(1), 45-70. (in Persian with English abstract). <https://doi.org/10.22067/jcsc.2023.82969.1255>

### Introduction

Deficit irrigation offers a solution for optimizing crop production under water stress conditions, albeit with an initial reduction in yield per unit area. Employing deficit irrigation aids in farm management in scenarios where land availability isn't constrained, enabling the determination of optimal cultivation patterns while conserving water consumption. However, deficit irrigation may influence plant growth and development by inducing drought stress. Due to several capabilities, quinoa shows resistance to solar radiation, temperature, water availability, and atmospheric CO<sub>2</sub> concentration, which makes it possible to cultivate it in different agricultural areas. Quinoa also has a great capacity for cultivation in dry and low-water soils. Although growth analysis sometimes provides valuable clues, it does not provide any physicochemical information related to the environmental reactions of plants; in other words, the main benefit of many quantities involved in growth analysis is to provide an accurate estimate of the ability and efficiency of the plant in the community at certain time intervals. In general, growth analysis evaluates the system based on the results of physiological manifestations. The purpose of this research was to evaluate the physiological growth analyses of three quinoa cultivars under different moisture levels in summer and spring planting dates in the South Khorasan region.

### Materials and Methods

To evaluate the physiological traits of three quinoa cultivars under deficit irrigation conditions, four separate experiments were conducted using a factorial layout based on a randomized complete block design. These experiments included three replications and were carried out in two regions (Birjand and Sarbisheh) during two planting dates (March and July) in 2018-2019. The experimental factors consisted of five moisture levels (ranging from 25% to 125% of crop water requirement) and three quinoa cultivars (Titicaca, Giza1, and Redcarina). To compare the cultivars and assess the impact of humidity levels, several physiological indices—such as leaf area index (LAI), crop growth rate (CGR), relative growth rate (RGR), and net assimilation rate (NAR)—were studied. Regression curves were fitted to the data from all four experiments separately, and



©2024 The author(s). This is an open access article distributed under [Creative Commons Attribution 4.0 International License \(CC BY 4.0\)](https://creativecommons.org/licenses/by/4.0/), which permits use, sharing, adaptation, distribution and reproduction in any medium or format, as long as you give appropriate credit to the original author(s) and the source.

<https://doi.org/10.22067/jcsc.2023.82969.1255>

separate analyses of variance were also performed for each sampling time.

## Results and Discussion

The trend of changes in the leaf area index (LAI) showed that the time needed to reach the maximum LAI was observed between 106 to 107 days after emergence in March and between 73 to 76 days after emergence in July in Birjand, respectively. In Sarbisheh, the maximum LAI was observed on day 104 after emergence in March and between 65 to 72 days after emergence in July. In March, in both studied areas, Redcarina had the highest LAI values (4.5 in Birjand and 6.7 in Sarbisheh), along with the maximum crop growth rate (CGR) of  $17.93 \text{ g m}^{-2} \text{ day}^{-1}$  in Birjand and  $20.63 \text{ g m}^{-2} \text{ day}^{-1}$  in Sarbisheh. Conversely, in July, Giza1 exhibited the highest LAI (6.4 in Birjand and 6 in Sarbisheh), along with the maximum CGR of  $19.32 \text{ g m}^{-2} \text{ day}^{-1}$  in Birjand and  $18.11 \text{ g m}^{-2} \text{ day}^{-1}$  in Sarbisheh. Additionally, the highest relative growth rate (RGR) and net assimilation rate (NAR) at the beginning of the growing season in March were observed for Redcarina, while in July, Giza1 demonstrated the highest RGR and NAR in both studied areas. Considering the effect of humidity levels, the highest levels of LAI, CGR, RGR, and NAR indices were observed at the 125% water requirement level. Specifically, the maximum LAI values in March (in Sarbisheh and Birjand) and August (in Sarbisheh and Birjand) were 8.2, 5.3, 6.5, and 7.2, respectively. The maximum CGR values were 28.78, 23.56, 22.96, and  $26.18 \text{ g m}^{-2} \text{ day}^{-1}$ , respectively. Furthermore, the highest RGR at the beginning of the growing season ranged from 0.189 to  $0.214 \text{ g g}^{-1} \text{ day}^{-1}$ , and the highest NAR at the beginning of the growing season ranged from 6.16 to  $10.22 \text{ g m}^{-2} \text{ day}^{-1}$ . Conversely, the lowest values of these indices were observed at the 25% water requirement level.

## Conclusion

Overall, Redcarina, cultivated in March, and Giza1, cultivated in July, exhibited the most favorable growth analysis indices and grain yield compared to other cultivars. Additionally, deficit irrigation resulted in a decrease in all of these indices and grain yield.

**Keywords:** Adjusted deficit irrigation, Crop growth rate, Growth analysis, Net Assimilation rate

مقاله پژوهشی

جلد ۲۲، شماره ۱، بهار ۱۴۰۳، ص ۷۰-۴۵

## ارزیابی شاخص‌های فیزیولوژیکی رشد ارقام کینوا (*Chenopodium quinoa* Willd.) تحت تأثیر سطوح مختلف رطوبتی در کشت بهاره و تابستانه در منطقه خراسان جنوبی

فرزانه گلستانی<sup>۱</sup>، سهراب محمودی<sup>۱،۲</sup>، حمیدرضا فلاحی<sup>۲</sup>، علی شهیدی<sup>۳</sup>

تاریخ دریافت: ۱۴۰۲/۰۳/۲۶

تاریخ پذیرش: ۱۴۰۲/۰۶/۰۸

### چکیده

تاریخ کاشت کینوا بسته به ژئوتیپ، شرایط اقلیمی هر منطقه و همچنین دسترسی به آب، متفاوت می‌باشد، بنابراین به منظور ارزیابی شاخص‌های رشدی سه رقم کینوا تحت تأثیر سطوح رطوبتی، چهار آزمایش مجزا در دو منطقه (بیرجند و سربیشه) و دو تاریخ کاشت (اسفند و مرداد) در سال‌های ۱۳۹۸-۹۹ به صورت فاکتوریل در قالب طرح بلوک کامل تصادفی با سه تکرار اجرا شد. فاکتورهای آزمایش شامل پنج سطح رطوبتی (۲۵، ۵۰، ۷۵، ۱۰۰ و ۱۲۵ درصد نیاز آبی گیاه) و سه رقم کینوا (تیتیکاکا، گیزاوان و ردکارینا) بود. روند تغییرات شاخص‌های رشدی در طول فصل رشد مورد ارزیابی قرار گرفت و تجزیه واریانس پس از برش‌دهی فیزیکی داده‌ها، به صورت جداگانه برای هر مرحله از نمونه برداری انجام شد. روند تغییرات شاخص سطح برگ سه رقم نشان داد که در تاریخ کاشت اسفندماه و مردادماه، زمان رسیدن به حداکثر LAI در شهرستان بیرجند به ترتیب بین ۱۰۶ الی ۱۰۷ و بین ۷۳ الی ۷۶ روز پس از سبز شدن و در شهرستان سربیشه به ترتیب در روز ۱۰۴ و بین ۶۵ الی ۷۲ روز پس از سبز شدن مشاهده شد. به طور کلی در اسفندماه در هر دو منطقه مورد مطالعه، رقم ردکارینا، دارای بیشترین مقادیر حداکثر LAI (۴/۵) در بیرجند و ۶/۷ در سربیشه) و حداکثر CGR (۱۷/۹۳ و ۲۰/۶۳ گرم بر مترمربع زمین در روز به ترتیب در بیرجند و سربیشه) بود و در مردادماه رقم گیزاوان بالاترین میزان حداکثر LAI (۶/۴) در بیرجند و ۶ در سربیشه) و حداکثر CGR (۱۹/۳۲ و ۱۸/۱۱ گرم بر مترمربع زمین در روز به ترتیب در بیرجند و سربیشه) را به خود اختصاص داد. همچنین بیشترین RGR و NAR در ابتدای فصل رشد در کشت اسفندماه در هر دو شهرستان مورد مطالعه، متعلق به رقم ردکارینا و در کشت مردادماه، متعلق به رقم گیزاوان بود. در بررسی اثر سطوح رطوبتی نیز می‌توان بیان نمود که بالاترین میزان شاخص‌های LAI، CGR، RGR و NAR در سطح ۱۲۵ درصد نیاز آبی مشاهده شد به طوری که حداکثر میزان شاخص LAI در کشت‌های اسفندماه سربیشه و بیرجند و مردادماه سربیشه و بیرجند به ترتیب برابر با ۸/۳، ۶/۵ و ۷/۲، حداکثر میزان CGR به ترتیب برابر با ۲۸/۷۸، ۲۳/۵۶، ۲۲/۹۶ و ۲۶/۱۸ گرم بر مترمربع زمین در روز، بالاترین میزان RGR در ابتدای فصل رشد به ترتیب ۰/۱۸۹، ۰/۱۸۶، ۰/۲۱۴ و ۰/۲۰۰ گرم بر گرم در روز و بالاترین میزان NAR در ابتدای فصل رشد به ترتیب ۶/۱۶، ۱۰/۲۲، ۷/۶۸ و ۹/۲۷ گرم بر مترمربع برگ در روز مشاهده شد. کمترین میزان شاخص‌های رشدی در تیمار کاربرد آبیاری به میزان ۲۵ درصد نیاز آبی مشاهده گردید. به طور کلی می‌توان بیان نمود که بالاترین میزان شاخص‌های رشدی و بیشترین عملکرد دانه در کشت اسفندماه در هر دو شهرستان مورد مطالعه، متعلق به رقم ردکارینا و در کشت مردادماه، متعلق به رقم گیزاوان بود. اعمال کم آبیاری نیز موجب کاهش معنی‌دار شاخص‌های رشدی و عملکرد دانه در هر چهار آزمایش گردید.

**واژه‌های کلیدی:** آنالیز رشد، سرعت جذب خالص، سرعت رشد محصول، سرعت رشد نسبی، کم آبیاری تنظیم‌شده

- ۱- دانشجوی دکتری زراعت، گروه مهندسی تولید و ژنتیک گیاهی، دانشکده کشاورزی، دانشگاه بیرجند، بیرجند، ایران
  - ۲- دانشیار، گروه مهندسی تولید و ژنتیک گیاهی، دانشکده کشاورزی، دانشگاه بیرجند، بیرجند، ایران
  - ۳- دانشیار، گروه علوم و مهندسی آب، دانشکده کشاورزی، دانشگاه بیرجند، بیرجند، ایران
  - ۴- عضو گروه پژوهشی گیاه و تنش‌های محیطی، دانشکده کشاورزی، دانشگاه بیرجند، بیرجند، ایران
- (\*)- نویسنده مسئول: (Email: [smahmoodi@birjand.ac.ir](mailto:smahmoodi@birjand.ac.ir))

## مقدمه

درک اهمیت عوامل فوق در تابع هزینه‌ها از اهمیت اساسی برخوردار است (Shahidi, Kashkuli, & Zamani, 2008). کم‌آبیاری از طریق ایجاد تنش خشکی، ممکن است رشد و نمو گیاهان را تحت تأثیر قرار دهد (Oneto et al., 2016).

مزیت عمده بسیاری از کمیت‌های دخیل در تجزیه و تحلیل رشد، فراهم آوردن تخمینی دقیق از کارایی گیاه در جامعه گیاهی و در فواصل زمانی معین است، به‌طور کلی، تجزیه و تحلیل رشد، سیستم را با تکیه بر نتایج حاصل از تظاهرات فیزیولوژیک، مورد ارزیابی قرار می‌دهد (Karimi & Azizi, 1997). شیرین‌نژاد و همکاران (Shirinnehzad, Torabi, & Mahmoudi, 2019) با بررسی سطح برگ چهار رقم کینوا (ساجاما، ردکارینا، تیتیکاکا، Q26 و Q29) بیان نمودند که رقم ساجاما بیشترین (۴۱۱ میلی‌مترمربع) و رقم Q29 کمترین سطح برگ (۱۲۴/۱۷ میلی‌مترمربع) را داشتند. در آزمایشی دیگر نیز سه رقم کینوا شامل تیتیکاکا، Q26 و Q29 مورد بررسی قرار گرفت و بیان کردند که رقم تیتیکاکا بیشترین میزان شاخص سطح برگ (۳/۸۸) را داشت و میزان این شاخص در ارقام Q26 و Q29 به ترتیب ۳/۵۱ و ۳/۱۵ بود که حاکی از برتری حدود ۱۴ درصدی رقم تیتیکاکا نسبت به Q26 و حدود ۱۹ درصدی نسبت به Q29 است (Fazeli, Akbari, Akbari, Naderi Arefi, & Benakashani, 2021). کاکابوکی و همکاران (Kakabouki et al., 2019) بیان نمودند که میزان سرعت رشد محصول کینوا رقم فارو در طول فصل رشد (۱۵۰ روز)، در شرایط شخم رایج و بازه‌های ۲۵ روزه پس از کاشت در سال ۲۰۱۲ به ترتیب ۹/۴۷، ۱۰/۴۶، ۷/۵۴، ۲/۱۹ و ۱/۶۴ گرم بر مترمربع در روز و در سال ۲۰۱۳ به ترتیب ۹/۳۵، ۸/۴۲، ۹/۲۷، ۱/۲۸ و ۱/۴۲ گرم بر مترمربع در روز، بود. کوکا (Koca, 2021) با بررسی کشت مخلوط کینوا و ذرت بیان نمود که در کشت خالص کینوا، میزان سرعت رشد نسبی در بازه‌های یک هفته‌ای در سال ۲۰۱۹ (۵ ژوئای تا ۳۰ آگوست) به ترتیب ۰/۰۱۵، ۰/۰۲۱، ۰/۰۱۱، ۰/۰۲۱، ۰/۰۳۵، ۰/۰۲۰، ۰/۰۲۵ و ۰/۰۱۲ گرم بر بوته و در سال ۲۰۲۰ (۱۴ ژوئای تا ۸ سپتامبر) به ترتیب برابر ۰/۰۰۷، ۰/۰۱۲، ۰/۰۴۱، ۰/۰۲۶، ۰/۰۲۷، ۰/۰۲۰، ۰/۰۲۳ و ۰/۰۱۷ گرم بر بوته بود. جمالی و همکاران (Jamali, Shaifan, & Sajadi, 2019) بیان نمودند که با افزایش میزان آب آبیاری، سطح برگ کینوا افزایش یافت ولی این روند افزایشی از لحاظ آماری معنی‌دار نبود. سان و همکاران (Sun, Liu, Bendevis, Shabala, & Jacobsen, 2014) نیز کاهش سطح برگ ارقام مختلف کینوا در شرایط تنش خشکی را گزارش نمودند. براساس گزارش سالک‌معرارجی و همکاران (Salek Mearaji, Tavakoli, & Sepahvand, 2020) رقم Q29 کینوا در شرایط تنش خشکی دارای بالاترین میزان سطح برگ بود. سلیمانی (Soleymani, 2017)، با بررسی اثر سطوح آبیاری را بر سرعت رشد

تولیدکنندگان اصلی کینوا در جهان، بولیوی و پرو می‌باشند، به نحوی که در سال ۲۰۲۱ میلادی، سطح برداشت‌شده در بولیوی و پرو به ترتیب ۱۲۱۱۱۹ و ۶۸۱۶۷ هکتار و عملکرد به ترتیب ۳۲۰۳ و ۱۵۶۶۱ صدمگرم در هکتار بود (FAO, 2023). درصد کشورهای عضو سازمان ملل برای آزمایش و کشت کینوا، در دو بازه‌ی زمانی افزایش یافت؛ مرحله اول در سال‌های ۱۹۸۰ تا ۲۰۰۰ میلادی به دلیل انجام پروژه "آزمون آمریکایی و اروپایی کینوا" و مرحله دوم به دلیل اعلام سال ۲۰۱۳ به‌عنوان سال جهانی کینوا (IYQ<sup>2</sup>) از طرف مجمع عمومی سازمان ملل متحد، بود (Bazile, Jacobsen, & Verniau, 2016). در منطقه آند، پنج اکتیپ عمده کینوا (کوهستانی<sup>۱</sup>، دره‌ای<sup>۲</sup>، مناطق شور<sup>۳</sup>، مناطق گرم<sup>۴</sup> و ساحلی<sup>۵</sup>) در اطراف دریاچه تیتیکاکا قرار دارد (Ruiz et al., 2014). کینوا به دلیل قابلیت‌های متعددی، در برابر تشعشعات خورشیدی، دما، فراهمی آب و غلظت CO<sub>2</sub> اتمسفر مقاومت از خود نشان می‌دهد که این امر، امکان کشت آن در مناطق مختلف کشاورزی را فراهم می‌کند (Reguera et al., 2018) و همچنین کینوا دارای ظرفیتی فوق‌العاده جهت کشت در خاک‌های خشک و کم‌آب می‌باشد (Jacobsen, Liu, & Jensen, 2009).

کم‌آبیاری یک راهکار برای تولید بهینه محصول تحت شرایط کمبود آب است که عملی‌ترین و اولین پیامد آن کاهش محصول (در واحد سطح) است؛ کم‌آبیاری به نام‌ها و مفاهیم دیگری همچون آبیاری با کسر آب مصرفی، آبیاری ناقص<sup>۶</sup>، آبیاری تنظیم‌شده<sup>۷</sup>، آبیاری محدود<sup>۸</sup> و آبیاری کمتر از نیاز آبی<sup>۹</sup> نیز خوانده می‌شود؛ با به‌کارگیری روش کم‌آبیاری با صرفه‌جویی در مصرف آب، می‌توان به مدیریت مزرعه در افزایش سطح زیر کشت (در حالت عدم محدودیت زمین) و تعیین الگوی کشت بهینه کمک نمود؛ اگرچه اعمال تکنیک کم-آبیاری، کاری سهل و آسان نیست، اما به‌عنوان یک راهکار اقتصادی سودمند در وضعیت بحران آب و با هدف حداکثر استفاده از واحد آب مصرفی، مطرح است در نتیجه به‌طور کلی می‌توان گفت که محاسن کم‌آبیاری از سه عامل کاهش هزینه‌های تولید، افزایش راندمان کاربرد آب آبیاری و کاهش هزینه‌های مربوط به آن نشأت می‌گیرد و

- 1- American and European Test of Quinoa
- 2- International Year of Quinoa
- 3- Highland
- 4- Inter-Andean valley
- 5- Salares
- 6- Yungas
- 7- Coastal low lands
- 8- Partial irrigation
- 9- Regulated deficit irrigation
- 10- Limited irrigation
- 11- Deficit evapotranspiration irrigation

زمین توسط لولر، تسطیح گردید. ابعاد هر کرت سه در چهار متر بود و یک متر فاصله بین کرت‌ها به‌عنوان اثر حاشیه‌ای و تعداد ۶۰ بوته در مترمربع به‌عنوان تراکم مطلوب کاشت کینوا (Samadzadeh, Zamani, & Fallahi, 2020) در نظر گرفته شد. پس از سبز شدن و رشد اولیه گیاهچه‌ها، دو مرحله تنک جهت رسیدن به تراکم مورد نظر صورت گرفت. اولین آبیاری بلافاصله پس از کاشت بذور انجام شد. قبل از اعمال سطوح رطوبتی، آبیاری به‌صورت سنگین و پس از اعمال (مرحله ۶ الی ۸ برگ حقیقی)، براساس نیاز آبی کینوا بود. اعمال تیمار آبیاری بر اساس حجم آب آبیاری (هر هفت روز یکبار) انجام و از کنتور حجمی جهت اعمال دقیق سطوح مختلف آبیاری استفاده گردید. به منظور محاسبه نیاز آبی گیاه کینوا، در ابتدا تبخیر و تعرق مرجع (ET<sub>0</sub>) با استفاده از نرم‌افزار Cropwat Ver. 8.0 به روش فائو پنمن - مانتیث و براساس آمار هواشناسی در شهرستان‌های بیرجند و سربیشه، در طول بازه یک هفته‌ای برآورد گردید و سپس از ضرب نمودن عدد تبخیر و تعرق مرجع، در ضریب گیاهی (K<sub>c</sub>) که براساس مرحله رشدی (ابتدایی، توسعه، میانی و انتهایی) و با استفاده از برآیند مطالعات مختلف به‌دست آمده بود، میزان تبخیر و تعرق کینوا (ET<sub>c</sub>) به‌صورت روزانه و برای سطح ۱۰۰ درصد نیاز آبی محاسبه گردید. سپس از طریق ضرب نمودن عدد برآوردشده در ضرایب ۰/۷۵، ۰/۷۵، ۰/۵۰، ۰/۲۵ و ۰، نیاز آبی گیاه کینوا به‌ترتیب در سطوح ۱۲۵، ۷۵، ۵۰ و ۲۵ درصد نیاز آبی به‌صورت روزانه محاسبه شد که با ضرب این اعداد در طول بازه آبیاری، میزان آب آبیاری به‌دست آمد. باتوجه به این‌که روش فائو پنمن - مانتیث، روشی تجربی جهت محاسبه تبخیر و تعرق مرجع بوده و براساس شرایط اقلیمی کشورهای اروپایی کالیبره گردیده است، لذا سطح ۱۲۵ درصد نیاز آبی، به‌منظور ارزیابی دقیق سطح ۱۰۰ درصد نیاز آبی کینوا در اقلیم خشک استان خراسان جنوبی در نظر گرفته شد تا خطای ناشی از کم برآوردی میزان نیاز آبی کینوا (در سطح ۱۰۰٪) برطرف گردد. در نتیجه سطح ۱۲۵ درصد نیاز آبی، معادل بیش‌آبیاری نمی‌باشد.

در طول فصل رشد، کنترل‌های مربوط به آفات، بیماری‌ها و مبارزه با علف‌های هرز صورت گرفت. نمونه‌برداری تخریبی به فاصله زمانی حدوداً ده روزه تا دوهفته‌ای در نیمه بالایی کرت (از ۵۰ سانتی‌متری بالای هر کرت با رعایت اثر حاشیه‌ای) بر روی چهار بوته در هر کرت انجام شد؛ بنابراین در هر دو تاریخ کاشت، در شهرستان سربیشه، هفت مرحله و در شهرستان بیرجند، شش مرحله نمونه‌برداری صورت گرفت که تاریخ‌های نمونه‌برداری در کشت مردادماه سربیشه در ۳۴، ۴۵، ۵۴، ۶۵، ۷۶، ۸۷ و ۹۷ روز پس از سبز شدن، در کشت اسفندماه سربیشه در ۴۵، ۵۴، ۶۸، ۸۱، ۹۲، ۱۰۸ و ۱۲۳ روز پس از سبز شدن، در کشت مردادماه بیرجند در ۲۷، ۳۶، ۵۰، ۶۴، ۷۸ و ۹۲ روز پس از سبز شدن و در کشت اسفندماه بیرجند در ۵۵، ۶۶، ۷۶، ۸۹، ۱۰۰ و ۱۱۵ روز پس از سبز شدن بود.

نسبی آفتابگردان گزارش نمود که میزان این شاخص ۵۵امین روز پس از سبز شدن در سطوح ۸۰، ۱۵۰ و ۱۸۰ میلی‌متر به‌ترتیب ۰/۱۳۱۹، ۰/۱۱۷۴ و ۰/۱۱۱۸ گرم بر گرم در روز بود که اختلاف معنی‌داری با یکدیگر داشتند. در مطالعه‌ی دیگر، با افزایش تیمار تخلیه رطوبتی از ۲۰ به ۸۰ درصد ظرفیت زراعی سرعت جذب خالص در ذرت کاهش پیدا کرد، که کمترین میزان آن مربوط به تیمار ۸۰ درصد ظرفیت زراعی بود؛ در این تیمار به دلیل کمبود آب و کاهش جذب مواد غذایی، رشد گیاه و در نتیجه سرعت جذب خالص کاهش یافت (Haghjoo & Bahrani, 2015). هدف از این پژوهش، ارزیابی شاخص‌های فیزیولوژیکی و آنالیزهای رشد کینوا تحت تأثیر رقم و سطوح مختلف رطوبتی در کشت‌های تابستانه و بهاره‌ی استان خراسان جنوبی بود.

## مواد و روش‌ها

پژوهش حاضر در دو مکان شهرستان بیرجند (عرض جغرافیایی ۳۲ درجه و ۵۳ دقیقه شمالی و طول جغرافیایی ۵۵ دقیقه و ۱۳ درجه شرقی با ارتفاع ۱۴۸۰ متر از سطح دریاهای آزاد) و شهرستان سربیشه (عرض جغرافیایی ۳۲ درجه و ۵۸ دقیقه شمالی و طول جغرافیایی ۵۹ دقیقه و ۸۰ درجه شرقی با ارتفاع ۱۸۳۹ متر از سطح دریاهای آزاد) و دو زمان (نیمه اول مردادماه و نیمه دوم اسفندماه) در سال‌های ۹۹-۱۳۹۸ اجرا گردید. خصوصیات آب، خاک و شرایط اقلیمی در هر دو زمان و مکان مورد مطالعه، در جداول ۱ و ۲ ارائه شد. در این تحقیق چهار آزمایش مجزا (مرداد و اسفند ماه در بیرجند و سربیشه) مورد بررسی قرار گرفت که هر یک از آن‌ها به‌صورت فاکتوریل در قالب طرح بلوک‌های کامل تصادفی با سه تکرار بودند. فاکتور اول شامل پنج سطح مختلف رطوبتی (۲۵، ۵۰، ۷۵، ۱۰۰ و ۱۲۵ نیاز آبی گیاه) و فاکتور دوم شامل سه رقم کینوا (تیتیکا، گیزاوان و ردکارینا) بود. بذور ارقام گیزاوان و ردکارینا از موسسه اصلاح نهال و بذر کشور و بذور رقم تیتیکا از اداره جهاد کشاورزی استان خراسان جنوبی در سال ۱۳۹۸ تهیه شد. ارقام تیتیکا، گیزاوان و ردکارینا نسبت به طول روز بی‌تفاوت می‌باشند و امکان کشت بهاره، تابستانه و پاییزه آن‌ها وجود دارد. همچنین ارقام تیتیکا و گیزاوان جزو ژنوتیپ‌های زودرس و رقم ردکارینا جزو ژنوتیپ متوسط‌رس محسوب می‌شوند (Bagheri, 2018). ارقام تیتیکا و ردکارینا به‌ترتیب در تاریخ‌های ۱۴ دسامبر ۲۰۰۹ و ۳۱ ژانویه ۲۰۰۵ ثبت شده‌اند و به‌ترتیب بومی دانمارک و هلند بوده (Jacobsen, 2017) و رقم گیزاوان بومی مصر است (Bazile et al., 2016b).

عملیات آماده‌سازی زمین در هر دو زمان و دو مکان، حداقل یک هفته قبل از کاشت صورت گرفت. بدین منظور ابتدا زمین توسط گاواهن برگردان‌دار شخم زده و سپس توسط دیسک، کلوخه‌ها خرد و

جدول ۱- آزمایشات خاک و آب مناطق مورد مطالعه  
Table 1- The results of soil and water tests in the studied areas

مناطق Location	بافت خاک Soil pattern	فراوانی نسبی ذرات خاک Relative abundance of soil particles (%)		pH	EC ( $\mu\text{S cm}^{-1}$ )	SAR ( $\text{meq L}^{-1}$ ) <sup>0.5</sup>	Na ( $\text{meq L}^{-1}$ )	Mg ( $\text{meq L}^{-1}$ )	Ca ( $\text{meq L}^{-1}$ )	K ( $\text{meq L}^{-1}$ )	P available ( $\text{mg.kg}^{-1}$ )	Organic carbon (%)	Organic matter ( $\text{meq L}^{-1}$ )	Nitrogen ( $\text{meq L}^{-1}$ )
		Clay	Silt											
خاک Soil	Sandy loam	4	28	68	8.1	2.08	1.22	15	3.75	280	2.4	0.23	0.40	0.015
	Sandy loam	12	20	68	7.7	10.31	23.86	84.23	10	15	320	0.18	0.32	0.012
مناطق Location	تاریخ کاشت Planting date	pH	EC ( $\text{dS m}^{-1}$ )	SAR ( $\text{meq L}^{-1}$ ) <sup>0.5</sup>	Na ( $\text{meq L}^{-1}$ )	Mg ( $\text{meq L}^{-1}$ )	Ca ( $\text{meq L}^{-1}$ )	K ( $\text{meq L}^{-1}$ )	Co <sub>3</sub> <sup>2-</sup> ( $\text{meq L}^{-1}$ )	HCO <sub>3</sub> <sup>2-</sup> ( $\text{meq L}^{-1}$ )	Cl <sup>-</sup> ( $\text{meq L}^{-1}$ )			
آب Water	اسفند-اسفند 5 March-5 March	8.1	2.64	1.69	4.64	0.16	3.70	11.90	1.14	3.93	15.84			
	مرداد-مرداد 8 August-8 August	8.1	3.32	7.15	21.21	0.19	4.46	12.78	0.58	3.71	20.53			
آب Water	اسفند-اسفند 8 March-8 March	7.5	2.88	1.97	4.44	0.23	4.96	4.62	0.00	2.50	19.10			
	مرداد-مرداد 27 July-27 July	7.5	2.78	9.51	19.67	0.24	4.30	4.33	0.00	1.59	17.91			



بوته‌ها پس از برداشت به آزمایشگاه منتقل شده و برگ‌ها از ساقه جدا و توسط دستگاه سنجش سطح برگ مدل  $\Delta T$ -windias3 سطح برگ آن‌ها برحسب سانتی‌متر مربع اندازه‌گیری شد. کل بوت‌ها درون دستگاه آون مدل Labcon با دمای ۷۲ درجه سانتی‌گراد به مدت ۴۸ ساعت، خشک و سپس به کمک ترازوی رقومی مدل AND, GR- 200 با دقت ۰/۰۰۱ گرم توزین شدند و برخی از شاخص‌های رشدی کینوا از قبیل شاخص سطح برگ ( $LAI^1$ )، سرعت رشد محصول ( $CGR^2$ )، سرعت رشد نسبی ( $RGR^3$ ) و سرعت جذب خالص ( $NAR^4$ ) با استفاده از رابطه‌های (۱) تا (۴) برآورد گردید (Javadi, Rashed Mohassle, Zamani, Azari Nasrabad, & Mossavi, 2006).

بوت‌ها پس از برداشت به آزمایشگاه منتقل شده و برگ‌ها از ساقه جدا و توسط دستگاه سنجش سطح برگ مدل  $\Delta T$ -windias3 سطح برگ آن‌ها برحسب سانتی‌متر مربع اندازه‌گیری شد. کل بوت‌ها درون دستگاه آون مدل Labcon با دمای ۷۲ درجه سانتی‌گراد به مدت ۴۸ ساعت، خشک و سپس به کمک ترازوی رقومی مدل AND, GR- 200 با دقت ۰/۰۰۱ گرم توزین شدند و برخی از شاخص‌های رشدی کینوا از قبیل شاخص سطح برگ ( $LAI^1$ )، سرعت رشد محصول ( $CGR^2$ )، سرعت رشد نسبی ( $RGR^3$ ) و سرعت جذب خالص ( $NAR^4$ ) با استفاده از رابطه‌های (۱) تا (۴) برآورد گردید (Javadi, Rashed Mohassle, Zamani, Azari Nasrabad, & Mossavi, 2006).

$$LAI = LA/GA \quad (۱)$$

$$CGR = (W_2 - W_1)/(T_2 - T_1) \quad (۲)$$

$$RGR = (\ln W_2 - \ln W_1)/(T_2 - T_1) \quad (۳)$$

$$NAR = [(W_2 - W_1)/(T_2 - T_1)] * \frac{[\ln LA_2 - \ln LA_1]}{(LA_2 - LA_1)} \quad (۴)$$

که در این رابطه‌ها، LA سطح برگ (مترمربع)، W وزن خشک گیاه (گرم)، T زمان نمونه‌برداری و GA سطح زمین (مترمربع) می‌باشد.

در این پژوهش با توجه به ماهیت برش‌دهی فیزیکی انجام‌شده بر روی زمان و مکان، آزمایشات تجزیه مرکب، انجام نگردید و تجزیه واریانس جداگانه برای هر مرحله از نمونه‌برداری در تمام شاخص‌های رشدی و همچنین عملکرد دانه کینوا انجام شد. جهت پردازش داده‌ها و محاسبات آماری از افزونه ماکرو DSASTAT ver. 1.022 در نرم‌افزار Excel و برای رسم نمودارها از نرم‌افزار Sigma plot ver. 11.0 استفاده شد و میانگین صفات با استفاده از آزمون حداقل تفاوت معنی‌دار محافظت شده (FLSD) با سطح احتمال ۵٪ مقایسه شد.

## نتایج و بحث

### شاخص سطح برگ ( $LAI$ ): روند تغییرات شاخص سطح

برگ در هر دو زمان و هر دو مکان جهت مقایسه ارقام و ارزیابی تأثیر سطوح رطوبتی، رسم گردید. خطوط رگرسیون به نقاط برازش داده شد که با توجه به معنی‌داری رگرسیون (در سطح احتمال ۰/۰۱ و ۰/۰۵) و ضریب تبیین ( $R^2$ ) بالا (بین ۰/۹۲۱ تا ۰/۹۹۹ در تمامی تیمارها)، بهترین خطوط رگرسیون به کمک توابع گاوسی (گووسین ۳ پارمتره) توجیه شد (شکل‌های ۱ و ۲). در هر تاریخ نمونه‌برداری، میزان

### روند تغییرات شاخص سطح برگ ارقام: با توجه به روند

تغییرات شاخص سطح برگ می‌توان بیان نمود که در اسفندماه و مردادماه، زمان رسیدن به حداکثر شاخص سطح برگ در شهرستان بیرجند به ترتیب بین ۱۰۶ الی ۱۰۷ و بین ۷۳ الی ۷۶ روز پس از سبز شدن و در شهرستان سربیشه به ترتیب در روز ۱۰۴ و بین ۶۵ الی ۷۲ روز پس از سبز شدن مشاهده شد که با توجه به بالاتر بودن درجه حرارت در بیرجند نسبت به سربیشه و همچنین گرم‌تر بودن هوا در مردادماه نسبت به اسفندماه، ارقام کینوا به دلیل تأمین زودتر نیاز حرارتی (GDD)، به حداکثر شاخص سطح برگ در تعداد روز کمتری پس از سبز شدن، دست یافتند (شکل ۱). حسینی و همکاران (Hosseini, Rahemi Karizaki, Biabani, Nakhzari, Moghaddam, & Taliey, 2020) نیز بیان کردند که کینوا در تاریخ کاشت‌هایی که انتهای دوره رشد به فصول سرد سال برخورد کرد، خیلی سریع‌تر به حداکثر شاخص سطح برگ خود (۵۹ تا ۶۰ روز پس از کاشت در سال زراعی ۹۷-۱۳۹۶ و ۶۵ تا ۸۲ روز پس از کاشت در سال زراعی ۹۸-۱۳۹۷) رسید. به‌طور کلی در اسفندماه و در هر دو شهرستان مورد مطالعه، رقم ردکارینا، دارای بیشترین مقدار حداکثر شاخص سطح برگ (حدود ۴/۵ در بیرجند و ۶/۷ در سربیشه) و در مردادماه رقم گیزاوان در هر دو منطقه دارای بالاترین میزان این شاخص (حدود ۶/۴ در بیرجند و ۶ در سربیشه) بود (شکل ۱). این اختلاف در ارقام را می‌توان به پتانسیل ژنتیکی ارقام نسبت داد (Nadali, Asghari, Abbasdokht, Dorostkar, & Bagheri, 2022). چنین تفاوت‌هایی در شاخص سطح برگ و خصوصیات رویشی می‌تواند منجر به تغییرات عملکرد ژنوتیپ‌های مختلف شود (Amer, Hassan, Ehsanullah, Shakeel, Mohsin, & Aziz, 2014). در مطالعه حسینی و همکاران (Hosseini et al., 2020)، میانگین حداکثر شاخص سطح برگ براساس خط منحنی رگرسیونی در رقم تیتیکاکا مربوط به تاریخ کاشت ۱۵ اردیبهشت و ۳۰ مرداد (۷/۹) و حداقل آن در تاریخ کاشت ۲۹ اسفند (۲/۷) بود. اسفندیاری و فتوکیان (Esfandyari & Fotokian, 2021)، ارتباط بین ۲۱ صفت

1- Leaf Area Index

2- Crop Growth Rate

3- Relative Growth Rate

4- Net Assimilation Rate



سطح ۷۵٪ اختلاف معنی‌داری نداشت و کمترین با میزان ۱۸/۶۷ سانتی‌متر مربع در تیمار ۵۰٪ بود. براساس گزارش اف‌جی‌هایر و همکاران (Fghire et al., 2015)، در آبیاری کامل بیشترین مقدار شاخص سطح برگ کینوا به میزان ۴/۵ در سال ۲۰۱۲ و ۶/۱۳ در سال ۲۰۱۱ و همچنین کمترین آن مربوط به تیمار دیم به میزان ۳/۸۷ و ۲/۷ در سال‌های ۲۰۱۱ و ۲۰۱۲ بود. در بررسی صادقی‌زاده و همکاران (Sadeghizadeh, Khajoei-Nejad, & Ghanbari, 2021)، پارامترهای رشد در دو مرحله مختلف از رشد گیاه کینوا (رقم تیتیکاکا) شامل مرحله رویشی و مرحله زایشی تعیین شد. براساس نتایج ایشان، شاخص سطح برگ در این دومرجه تحت تأثیر سطوح مختلف کم‌آبیاری (۱۰۰، ۷۵ و ۴۰ درصد ظرفیت زراعی) قرار نگرفت.

**سرعت رشد محصول (CGR):** روند تغییرات سرعت رشد محصول به تبع از شاخص سطح برگ، به کمک توابع گاوسی سه و چهار پارامتره بررسی شدند. سرعت رشد محصول با گذشت زمان افزایش یافته (به دلیل افزایش تعداد برگ‌ها، بزرگ شدن برگ‌ها و افزایش وزن ساقه) و پس از رسیدن به حداکثر، کاهش (به دلیل کاهش فتوسنتز خالص، کاهش مقدار شاخص سطح برگ و همچنین کاهش شدت تشعشع در آخر فصل، که خود تحت تأثیر افزایش تقاضا و پیری برگ‌هاست) و به صفر می‌رسد (Baygi et al., 2017). در مطالعه‌ای دیگر (De Oliveira Vergara et al., 2019) بیان شد که سرعت رشد کینوا بسته به مرحله رشدی متفاوت می‌باشد، به طوری که سرعت رشد کینوا تا ۳۰ روز پس از ظهور بسیار کند و از روز ۳۰ تا ۹۰ دارای سرعت رشد بیشتر و سپس کاهش می‌یابد. رامش و همکاران (Ramesh, Suneetha Devi, Gopinath, & Uma, 2017)، سه تاریخ کاشت (۱۵ اکتبر، ۱ نوامبر و ۱۵ نوامبر) در کینوا را مورد بررسی قرار دادند و گزارش نمودند میزان CGR در بازه‌های ۳۰-۶۰، ۶۰-۹۰ و ۹۰-۱۱۵ اکتبر (معادل نیمه دوم مهر) به ترتیب ۵/۴، ۱۱/۷ و ۷ گرم بر مترمربع در روز، در ۱۵ نوامبر (معادل نیمه اول آبان) به ترتیب ۵/۱، ۱۰/۴ و ۵/۳ گرم بر مترمربع در روز و در ۱۵ نوامبر (معادل نیمه دوم آبان) به ترتیب ۴/۴، ۸/۶ و ۴/۴ گرم بر مترمربع در روز بود. براساس مطالعه سانودیا و همکاران (Sanodiya, Umesha, Mesharm, & Kumar, 2022)، میزان سرعت رشد محصول کینوا در بازه‌های ۲۰-۴۰، ۴۰-۶۰، ۶۰-۸۰ و ۸۰ تا برداشت به ترتیب برابر ۱/۵۰، ۸/۶۴، ۲۸/۵۶ و ۴/۱۰ گرم بر مترمربع در روز بود.

#### روند تغییرات سرعت رشد محصول در ارقام کینوا:

براساس نتایج تجزیه واریانس (جدول ۴)، در کشت اسفندماه و در هر دو منطقه مورد مطالعه، رقم ردکارینا بیشترین سرعت رشد محصول را به خود اختصاص داده بود به نحوی که در بیرجند، بالاترین میزان آن بین روزهای ۸۸ الی ۹۰ روز پس از سبز شدن و به میزان ۱۷/۹۳ گرم

ریخت‌شناسی در ۷۰ ژنوتیپ کینوا را بررسی نمودند، براساس نتایج آن‌ها، کمینه و بیشینه سطح برگ ارقام کینوا در بازه ۲/۳۵ الی ۳۶۶ سانتی‌متر مربع قرار داشت. در مطالعه دیگر با بررسی اثر کم‌آبیاری بر ۶ ژنوتیپ کینوا بیان نمودند که در سطح ۱۰۰ درصد ETc، کمترین سطح برگ با میزان ۳/۷۲ در رقم تیتیکاکا و بیشترین در لاین L119 با میزان ۵/۲۶ مشاهده شد (Fghire, Anaya, Ali Issa, & Wahbi, 2017). نادعلی و همکاران (Nadali et al., 2022) با بررسی سه رقم کینوا عنوان نمودند که بین ارقام از لحاظ میزان شاخص سطح برگ اختلاف وجود داشت به نحوی که میزان این شاخص در ارقام تیتیکاکا، Q26 و Q29 به ترتیب ۲/۷۸، ۲/۰۷ و ۳/۳۵ بود. سالک‌معراجی و همکاران (Salek Mearaji et al., 2020) گزارش نمودند که بیشترین شاخص سطح برگ در بونه در شرایط آبیاری مطلوب در ارقام Q29 و Redcarina مشاهده شد. سان و همکاران (Sun et al., 2014) نیز در بررسی سطح برگ دو رقم تیتیکاکا و آچاپینو بیان نمودند که سطح برگ رقم تیتیکاکا (۳۰۰۲ سانتی‌متر مربع)، بسیار بالاتر از رقم آچاپینو (۱۷۵۲ سانتی‌متر مربع) بود.

#### اثر سطوح رطوبتی بر روند تغییرات شاخص سطح برگ:

نتایج نشان داد که در اسفندماه، حداکثر شاخص سطح برگ در بیرجند و سربیشه به ترتیب در بازه ۱۰۴ تا ۱۰۸ و ۱۰۳ تا ۱۰۵ روز پس از سبز شدن و در مردادماه نیز در بیرجند و سربیشه به ترتیب در بازه ۷۴ تا ۷۶ و ۶۵ تا ۷۰ روز پس از سبز شدن مشاهده شد. بالاترین میزان این شاخص در سطح ۱۲۵ درصد نیاز آبی مشاهده شد که میزان شاخص حدوداً در اسفندماه بیرجند، ۵/۳ و در سربیشه ۸/۲ و در مردادماه بیرجند، ۷/۲ و سربیشه ۶/۵ محاسبه گردید و کمترین آن نیز متعلق به تیمار ۲۵ درصد نیاز آبی به میزان ۲/۶ و ۲/۸ به ترتیب در اسفندماه بیرجند و سربیشه و به ترتیب ۳/۱ و ۲/۱ در مردادماه بیرجند و سربیشه بود (شکل ۲). در تحقیقی دیگر بیان شد که عکس‌العمل شاخص سطح برگ تحت تیمارهای مختلف آبیاری (۱۰۰، ۷۵ و ۵۰ درصد نیاز آبی) در سه رقم کینوا در طی فصل رشد حاکی از آن است که با شدت یافتن تنش، شاخص سطح برگ با سرعت بیش‌تری افت کرد (Nadali et al., 2022). دلیل کاهش میزان سرعت و گسترش سطح برگ در کانوبی گیاهی در زمان اعمال تنش خشکی به‌واسطه اختلال در فتوسنتز و کاهش آماس سلولی می‌باشد. یکی دیگر از دلایل افت سطح برگ در تیمارهای تنش به‌واسطه حساسیت بالای تقسیم سلولی و سرعت رشد سلول‌ها به کم‌آبی است (Nadeem, Imran, Kamil, & Husain, 2009). شریفیان و همکاران (Shaifan, Jamali, & Sajadi, 2018) با بررسی سه سطح رطوبتی (۱۰۰، ۷۵ و ۵۰ درصد نیاز آبی) بر کینوا گزارش نمودند که بیشترین سطح برگ در تیمار ۱۰۰٪ (۲۴/۸۸ سانتی‌متر مربع) مشاهده شد که با

سرعت رشد محصول بین ۳۹ تا ۶۵ روز پس از کاشت متفاوت بود که در تاریخ کاشت ۱۵ مرداد به بعد، در ۳۹ روز و ۱۵ اسفند به بعد، در ۶۵ روز به حداکثر سرعت رشد محصول خود دست پیدا کردند. در مطالعه واحدی و همکاران (Vahedi, Tohidi Nejad, & Pasandi Pour, 2021)، میزان سرعت رشد محصول در کینوا رقم تیتیکاکا، در فاصله کاشت ۵۰ سانتی‌متر و فاصله روی خط، ۵ سانتی‌متر (تقریباً مشابه با فواصل کشت مطالعه حاضر)، ۱۰/۶۸ گرم بر مترمربع در روز بود. کانسومجت و همکاران (Kansomjet et al., 2017)، سرعت رشد محصول را در دو رقم کینوا بررسی نمودند و بیان کردند که دو رقم، دارای اختلاف معنی‌داری با یکدیگر بودند و میزان سرعت رشد محصول در ارقام وردس و مراداس به ترتیب ۱/۸۷ و ۱/۰۸ میلی‌گرم بر سانتی‌مترمربع در روز بود.

بر مترمربع زمین در روز و در سریشبه بین ۹۲ الی ۹۴ روز پس از سبزشدن به میزان ۲۰/۶۳ گرم بر مترمربع زمین در روز مشاهده شد. در کشت مردادماه، در هر دو منطقه، بیشترین سرعت رشد محصول مختص رقم گیزاوان بود به طوری که بالاترین میزان آن در بیرجند و سریشبه به ترتیب بین ۶۵ الی ۶۷ و ۵۵ الی ۶۰ روز پس از سبزشدن و به دست آمد (شکل ۳). بالا بودن سرعت رشد محصول در رقم ردکارینا در اسفند و گیزاوان در مرداد، به دلیل بالاتر بودن شاخص سطح برگ آن‌ها می‌باشد. سرعت رشد محصول رابطه مستقیمی با سطح فتوسنتزکننده دارد (Ozoni Davaji, Esfahani, Sami, Hosseini et al., 2020). حسینی و همکاران (Zadeh, & Rabiei, 2008) نیز در بررسی روند تغییرات سرعت رشد محصول کینوا در تاریخ‌های مختلف کاشت بیان نمودند که زمان رسیدن به حداکثر

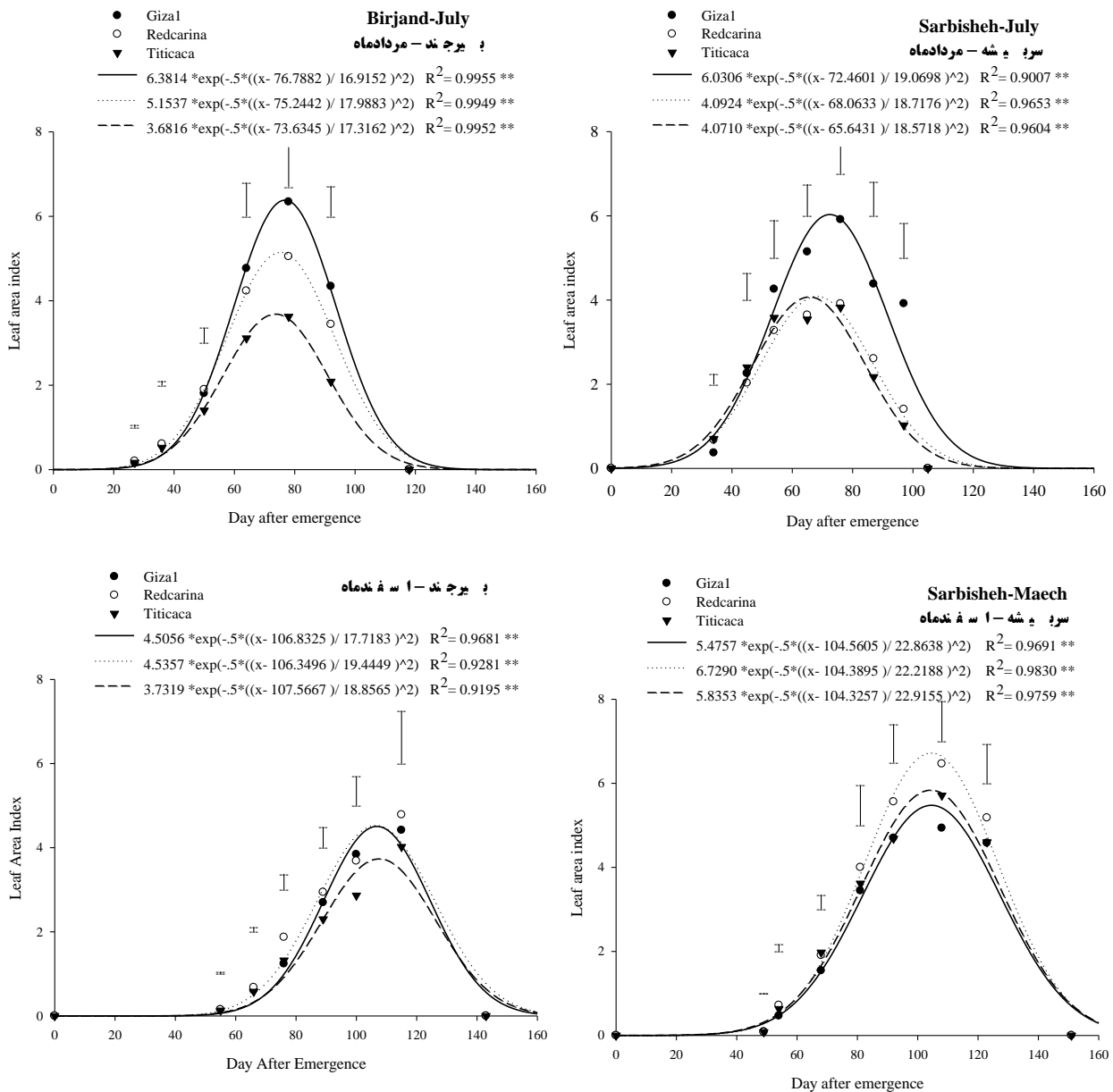
جدول ۳- تجزیه واریانس شاخص سطح برگ (LAI) در طول فصل رشد در دو مکان و زمان

Table 3- Analysis of variance of Leaf area index (LAI) during the growing season in two locations and times

Location	Planting date	S.O.V	Df	LAI <sub>1</sub>	LAI <sub>2</sub>	LAI <sub>3</sub>	LAI <sub>4</sub>	LAI <sub>5</sub>	LAI <sub>6</sub>	LAI <sub>7</sub>	
				Sampling day (Day after emergence)							روز نمونه‌برداری
				27	36	50	64	78	92	-	
Birjand بیرجند	8 August مردادماه	Block	بلوک	2	0.0002 <sup>ns</sup>	0.054 <sup>ns</sup>	0.102 <sup>ns</sup>	0.624 <sup>ns</sup>	7.486 <sup>ns</sup>	0.308 <sup>ns</sup>	-
		Cultivar	رقم	2	0.008 <sup>**</sup>	0.033 <sup>ns</sup>	1.036 <sup>*</sup>	10.717 <sup>**</sup>	10.748 <sup>**</sup>	19.402 <sup>**</sup>	-
		Moisture levels	سطوح رطوبتی	4	0.0005 <sup>ns</sup>	0.058 <sup>*</sup>	3.606 <sup>**</sup>	12.866 <sup>**</sup>	26.142 <sup>**</sup>	12.120 <sup>**</sup>	-
		C × M	رقم × سطوح رطوبتی	8	0.0046 <sup>**</sup>	0.049 <sup>*</sup>	0.380 <sup>ns</sup>	2.240 <sup>ns</sup>	1.816 <sup>ns</sup>	0.694 <sup>ns</sup>	-
		Error	خطا	28	0.0009	0.019	0.596	1.128	3.012	0.900	-
	CV (%) ضریب تغییرات				16.91	24.11	28.30	26.32	34.68	28.83	-
					55	66	76	89	100	115	-
	5 March اسفندماه	Block	بلوک	2	0.0039 <sup>ns</sup>	0.004 <sup>ns</sup>	0.490 <sup>ns</sup>	0.151 <sup>ns</sup>	3.666 <sup>*</sup>	13.002 <sup>*</sup>	-
		Cultivar	رقم	2	0.0018 <sup>ns</sup>	0.041 <sup>ns</sup>	1.777 <sup>**</sup>	1.578 <sup>*</sup>	4.117 <sup>*</sup>	2.196 <sup>ns</sup>	-
		Moisture levels	سطوح رطوبتی	4	0.0009 <sup>ns</sup>	0.328 <sup>**</sup>	0.359 <sup>ns</sup>	2.255 <sup>**</sup>	10.676 <sup>**</sup>	11.336 <sup>**</sup>	-
C × M		رقم × سطوح رطوبتی	8	0.0052 <sup>ns</sup>	0.023 <sup>ns</sup>	0.193 <sup>ns</sup>	0.516 <sup>ns</sup>	1.478 <sup>ns</sup>	1.879 <sup>ns</sup>	-	
Error		خطا	28	0.0038	0.226	0.244 <sup>ns</sup>	0.425	0.856	2.777	-	
CV (%) ضریب تغییرات				43.43	24.20	33.45	24.65	26.73	37.82	-	
Sarbisheh سریشبه	27 July مردادماه	Block	بلوک	2	0.042 <sup>ns</sup>	1.036 <sup>ns</sup>	4.827 <sup>ns</sup>	7/507 <sup>**</sup>	12.843 <sup>**</sup>	2.992 <sup>ns</sup>	5.863 <sup>*</sup>
		Cultivar	رقم	2	0.506 <sup>*</sup>	0.523 <sup>ns</sup>	3.808 <sup>ns</sup>	12.122 <sup>**</sup>	20.924 <sup>**</sup>	20.586 <sup>**</sup>	37.014 <sup>**</sup>
		Moisture levels	سطوح رطوبتی	4	0.088 <sup>**</sup>	26.142 <sup>*</sup>	16.713 <sup>**</sup>	21.743 <sup>**</sup>	32.885 <sup>**</sup>	13.941 <sup>**</sup>	7.280 <sup>**</sup>
		C × M	رقم × سطوح رطوبتی	8	0.169 <sup>ns</sup>	1.816 <sup>ns</sup>	3.419 <sup>*</sup>	2.741 <sup>*</sup>	4.410 <sup>*</sup>	2.798 <sup>*</sup>	1.622 <sup>ns</sup>
		Error	خطا	28	0.111	0.736	1.465	1.004	1.581	1.171	1.213
	CV (%) ضریب تغییرات				57.32	38.49	32.57	24.19	27.64	35.44	52.12
					49	54	68	81	92	108	123
	8 March اسفندماه	Block	بلوک	2	0.0003 <sup>ns</sup>	0.312 <sup>**</sup>	1.110 <sup>*</sup>	3.465 <sup>ns</sup>	0.889 <sup>ns</sup>	3.223 <sup>ns</sup>	4.773 <sup>ns</sup>
		Cultivar	رقم	2	0.0009 <sup>*</sup>	0.248 <sup>*</sup>	0.812 <sup>*</sup>	1.214 <sup>ns</sup>	3.799 <sup>ns</sup>	8.757 <sup>*</sup>	1.750 <sup>ns</sup>
		Moisture levels	سطوح رطوبتی	4	0.0011 <sup>**</sup>	0.026 <sup>ns</sup>	1/698 <sup>**</sup>	14.696 <sup>**</sup>	24.896 <sup>**</sup>	42.681 <sup>**</sup>	25.553 <sup>**</sup>
C × M		رقم × سطوح رطوبتی	8	0.0001 <sup>ns</sup>	0.040 <sup>ns</sup>	0.964 <sup>**</sup>	1.792 <sup>ns</sup>	1.404 <sup>ns</sup>	1.052 <sup>ns</sup>	2.120 <sup>ns</sup>	
Error		خطا	28	0.0002	0.054	0.213	1.634	1.459	1.629	1.533	
CV (%) ضریب تغییرات				18.92	38.39	25.54	34.68	24.25	22.38	25.88	

\*, \*\*, and ns: به ترتیب معنی‌داری در سطح احتمال پنج و یک درصد و عدم معنی‌داری

\*, \*\*, and ns represent significant at of 5% and 1% probability level and not significant, respectively.



شکل ۱- روند تغییرات شاخص سطح برگ ارقام کینوا در طول فصل رشد در دو مکان و دو زمان (خطوط عمودی بالای هر مرحله نمونه برداری مقدار FLSD در سطح احتمال پنج درصد را نشان می‌دهد)

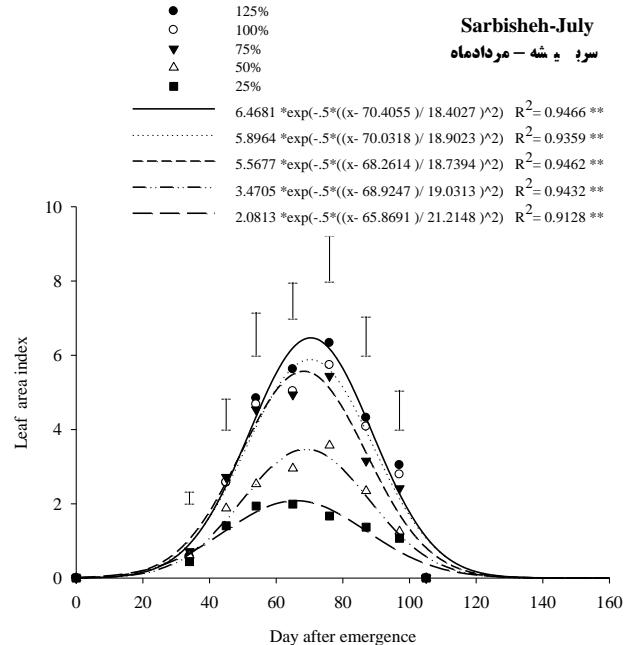
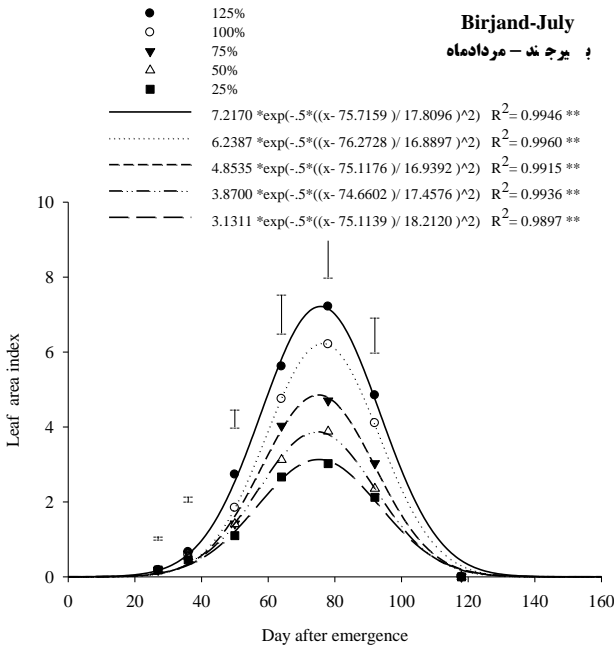
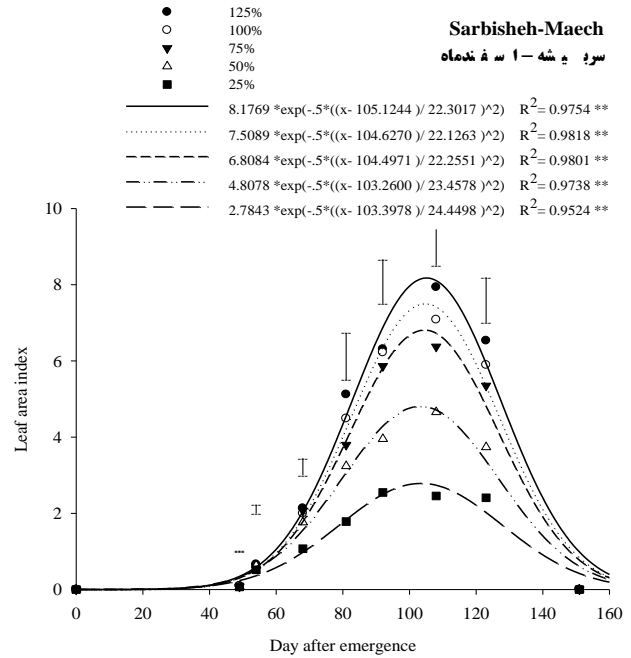
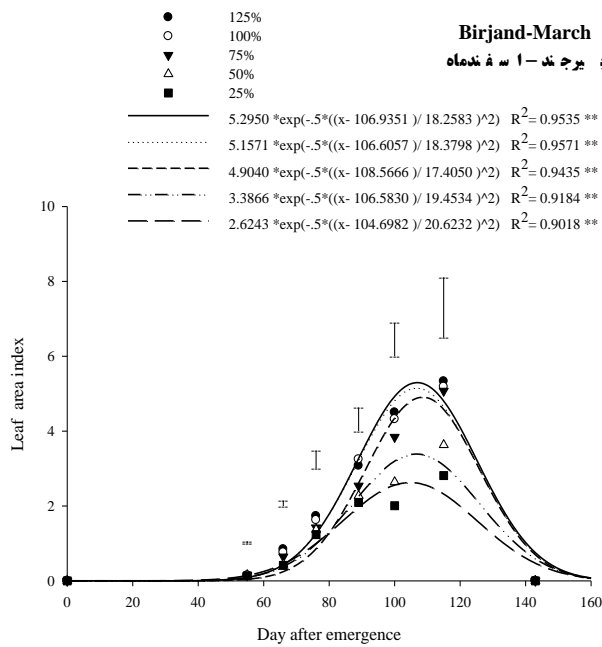
Figure 1- Leaf area index Changes of quinoa cultivars during the growing season in two location and times (Vertical lines on each sampling represent FLSD value at the 5% level)

۲۶/۱۸ گرم بر مترمربع زمین در روز بود، که اختلاف معنی‌داری با سطح ۱۰۰ درصد نیاز آبی نداشت و کمترین این صفت در تیمار ۲۵ درصد نیاز آبی مشاهده شد. صادقی‌زاده و همکاران (Sadeghizadeh *et al.*, 2021) بیان نمودند که سرعت رشد محصول کینوا در مرحله رویشی و زایشی، تحت تأثیر سطوح آبیاری (۱۰۰، ۷۵ و ۴۰ درصد ظرفیت زراعی) قرار نگرفت اما در مطالعه بحرینی‌نژاد و رزمجو (Bahreininejad & Razmjoo, 2014)، اثر تنش بر سرعت رشد

اثر سطوح رطوبتی بر روند تغییرات سرعت رشد محصول: با توجه به نمودارهای رسم‌شده در شکل ۴، بالاترین میزان سرعت رشد محصول در هر دو منطقه و زمان کاشت، مربوط به تیمار ۱۲۵ درصد نیاز آبی بود به نحوی که در این سطح رطوبتی، حداکثر میزان CGR در کشت‌های اسفندماه سربیشه و بیرجند و مردادماه سربیشه و بیرجند به ترتیب برابر با ۲۸/۷۸، ۲۳/۵۶، ۲۲/۹۶ و

تیمار عدم تنش براساس مطالعه کبیبه و همکاران ( Kibe, Singh, & Kalra, 2006)، به دلیل دسترسی بهتر گیاه به آب و موادغذایی و در نتیجه تلاش گیاه جهت گسترش تاج پوشش گیاه باشد.

محصول معنی دار بود به ویژه در زمان حداکثر بودن شاخص (آغاز غنچه دهی)، که باعث کاهش میزان آن شد و با افزایش شدت تنش، روند کاهشی منحنی سرعت رشد، زودتر شروع و مقادیر آن منفی گردید. علت وقوع دیرتر سیر نزولی منحنی سرعت رشد محصول در



شکل ۲- روند تغییرات شاخص سطح برگ در سطوح مختلف رطوبتی در طول فصل رشد در دو مکان و دو زمان (خطوط عمودی بالای هر مرحله نمونه برداری مقدار FLSD در سطح احتمال پنج درصد را نشان می دهد)

Figure 2- Leaf area index changes in different humidity levels during the growing season in two locations and times (Vertical lines on each sampling represent FLSD value at the 5% level)

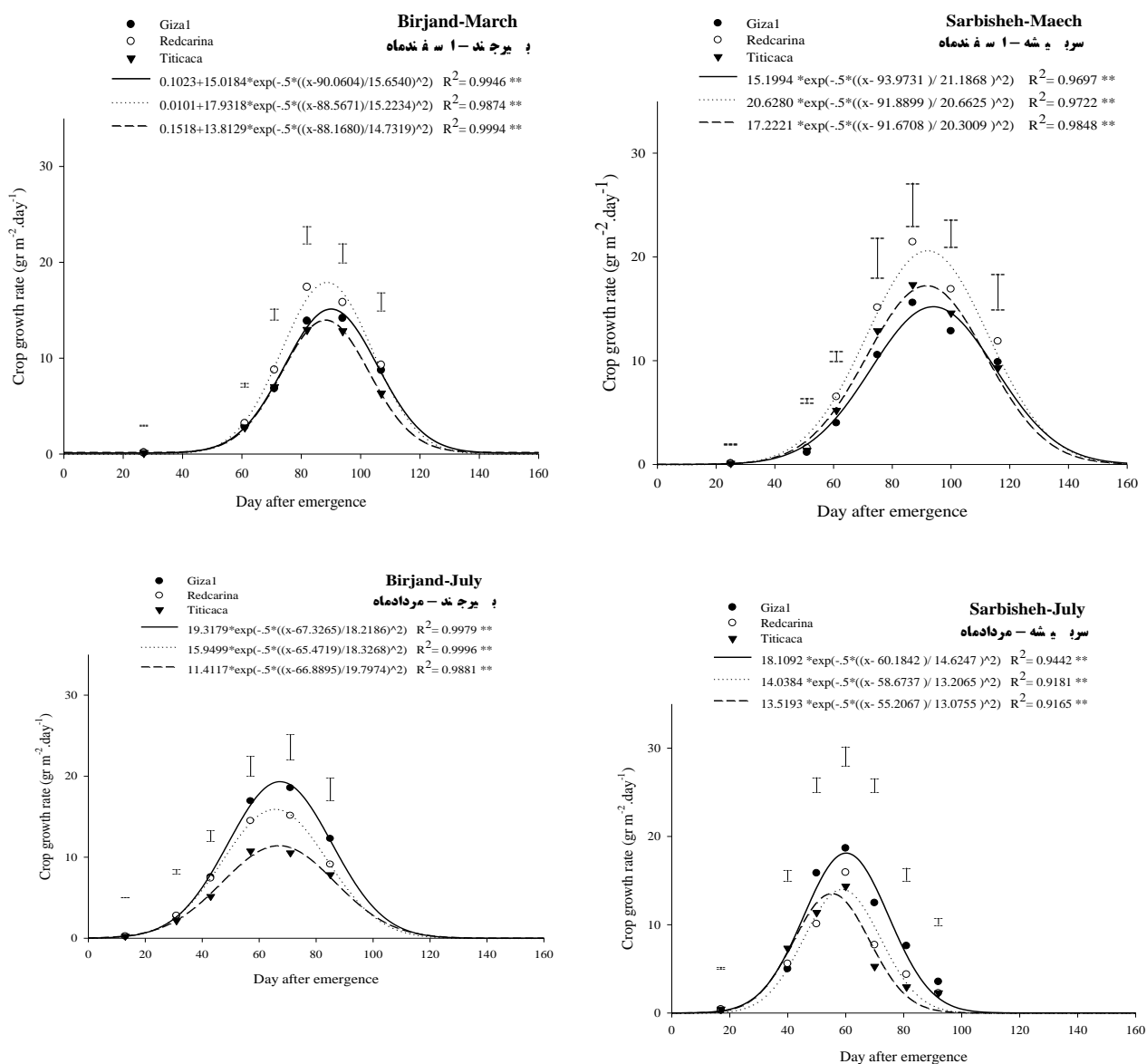
جدول ۴- تجزیه واریانس شاخص سرعت رشد محصول (CGR) در طول فصل رشد در دو مکان و زمان  
Table 4- Analysis of variance of Crop growth rate (CGR) during the growing season in two locations and times

Location	Planting date	S.O.V	Df	CGR <sub>1</sub>	CGR <sub>2</sub>	CGR <sub>3</sub>	CGR <sub>4</sub>	CGR <sub>5</sub>	CGR <sub>6</sub>	CGR <sub>7</sub>
				13	31	43	57	71	85	-
بیرجند Birjand	۸ مردادماه 8 August	Block بلوک	2	0.071 **	3.431 **	5.007 ns	9.354 ns	13.415 ns	28.573 ns	-
		Cultivar رقم	2	0.007 ns	1.939 *	26.816 **	144.81 **	242.29 **	78.261 **	-
		Moisture levels سطوح رطوبتی	4	0.008 ns	3.531 **	83.038 **	398.90 **	472.34 **	202.03 **	-
		C × M رقم × سطوح رطوبتی	8	0.005 ns	1.000 *	3.789 ns	24.785 ns	29.399 ns	15.816 ns	-
		Error خطا	28	0.008	0.390	3.115	10.823	17.558	13.733	-
		CV (%) ضریب تغییرات		37.85	24.44	26.39	23.40	28.45	28.06	-
					27	61	71	82	94	107
	۵ اسفندماه 5 March	Block بلوک	2	0.012 **	0.932 ns	0.675 ns	8.876 ns	3.317 ns	22.614 *	-
		Cultivar رقم	2	0.0007 ns	0.725 ns	17.415 **	82.327 *	33.592 *	37.236 **	-
		Moisture levels سطوح رطوبتی	4	0.0008 ns	7.119 **	74.832 **	193.65 **	446.78 **	22.490 *	-
		C × M رقم × سطوح رطوبتی	8	0.0012 ns	1.023 *	5.834 ns	12.995 *	10.83 ns	6.556 ns	-
		Error خطا	28	0.002	0.362	2.574	5.665	7.044	5.987	-
		CV (%) ضریب تغییرات		37.93	20.53	21.33	16.15	18.61	30.20	-
					17	40	50	60	70	81
سربیشه Sarbisheh	۲۷ مردادماه 27 July	Block بلوک	2	0.160 **	0.435 ns	4.639 ns	25.811 ns	3.551 ns	7.683 ns	0.867 ns
		Cultivar رقم	2	0.296 **	22.264 **	136.79 **	71.396 **	200.90 **	85.142 **	8.325 **
		Moisture levels سطوح رطوبتی	4	0.011 ns	45.551 **	252.20 **	563.09 **	189.66 **	40.271 **	15.893 **
		C × M رقم × سطوح رطوبتی	8	0.021 ns	5.450 ns	34.103 **	23.183 *	12.865 *	5.049 ns	1.792 ns
		Error خطا	28	0.011	2.432	5.165	8.530	4.442	3.737	0.948
		CV (%) ضریب تغییرات		31.05	26.16	18.28	17.91	24.87	38.92	36.38
					25	51	61	75	87	100
	۸ اسفندماه 8 March	Block بلوک	2	0.0004 ns	0.921 *	3.205 ns	82.266 ns	5.645 ns	30.711 ns	1.294 ns
		Cultivar رقم	2	0.0015 **	0.707 ns	24.012 **	78.678 ns	135.774 *	61.667 *	27.336 ns
		Moisture levels سطوح رطوبتی	4	0.0008 **	0.712 ns	21.237 **	292.34 **	803.50 **	439.90 **	131.82 **
		C × M رقم × سطوح رطوبتی	8	0.0003 ns	0.091 ns	16.437 **	13.183 ns	30.489 ns	20.064 ns	6.397 ns
		Error خطا	28	0.0001	0.275	1.544	26.686	30.860	12.419	2.149
		CV (%) ضریب تغییرات		11.83	38.79	23.74	40.22	30.68	23.86	43.41

\*, \*\*, and ns represent significant at of 5% and 1% probability level and not significant, respectively.

سهمی در رشد ندارند، به همین دلیل سرعت رشد نسبی با گذشت زمان و در نتیجه رشد گیاه و افزایش مقدار تنفس در اواخر فصل رشد منفی می‌گردد (Hosseini et al., 2020). کاکابوکی و همکاران (Kakabouki et al., 2019) میزان سرعت رشد نسبی کینوا را در شیوه شخم رایج و در بازه‌های ۵۰-۲۵، ۷۵-۵۰، ۱۰۰-۷۵، ۱۲۵-۱۰۰ و ۱۵۰-۱۲۵ روز پس از کاشت به ترتیب ۰/۰۴۰۷، ۰/۰۲۱۴، ۰/۰۱۰۲، ۰/۰۰۲۷ و ۰/۰۰۱۹ گرم بر گرم در روز در سال ۲۰۱۲ و به ترتیب ۰/۰۴۰۹، ۰/۰۱۸۲، ۰/۰۱۳۶، ۰/۰۰۲۶ و ۰/۰۰۱۶ گرم بر گرم در روز در سال ۲۰۱۳، گزارش نمودند. در مطالعه‌ی دیگر و در تیمار شاهد، گزارش شد که میزان سرعت رشد نسبی در بازه‌های ۲۰ روزه پس از کاشت (۲۰-۴۰، ۴۰-۶۰، ۶۰-۸۰ و ۸۰-برداشت) به ترتیب ۰/۱۱۰، ۰/۰۶۷ و ۰/۰۰۳۰ گرم بر گرم در روز بود (Sanodiya et al., 2022).

**سرعت رشد نسبی (RGR):** سرعت رشد نسبی یک گیاه، معیاری از کارایی رشد آن گیاه است و بیانگر سرعتی از تولید بیوماس جدید به ازای بیوماس فعلی موجود در واحد زمان می‌باشد (Abtali, Baghestani, & Abtali, 2009). معادلات متعدد ریاضی جهت رسم بهترین نمودار مورد بررسی قرار گرفت. در این میان معادلات نمای (Hosseini et al., 2020) که ضریب تبیین آن‌ها در تیمارها بین ۰/۹۶۶ الی ۰/۹۹۷ متغیر بود و معادلات از لحاظ آماری معنی‌دار بودند، به عنوان بهترین توجیه‌کننده تغییرات، شناسایی شدند (شکل-های ۵ و ۶). نتایج تجزیه واریانس اثر رقم و سطوح رطوبتی بر سرعت رشد نسبی در جدول ۵ ارائه گردید. تغییرات RGR در تمام فصل رشد، بین تمامی ارقام و سطوح رطوبتی، روند نزولی داشت و در انتهای فصل رشد به یک نقطه ختم شدند. با افزایش سن گیاه بر بافت‌های ساختمانی گیاه افزوده می‌شود و این بافت‌های ساختمانی



شکل ۳- روند تغییرات سرعت رشد محصول در ارقام کینوا در طول فصل رشد در دو مکان و دو زمان (خطوط عمودی بالای هر مرحله نمونه برداری مقدار FLSD در سطح احتمال پنج درصد را نشان می‌دهد)

Figure 3- Crop growth rate Changes of quinoa cultivars during the growing season in two location and times (Vertical lines on each sampling represent FLSD value at the 5% level)

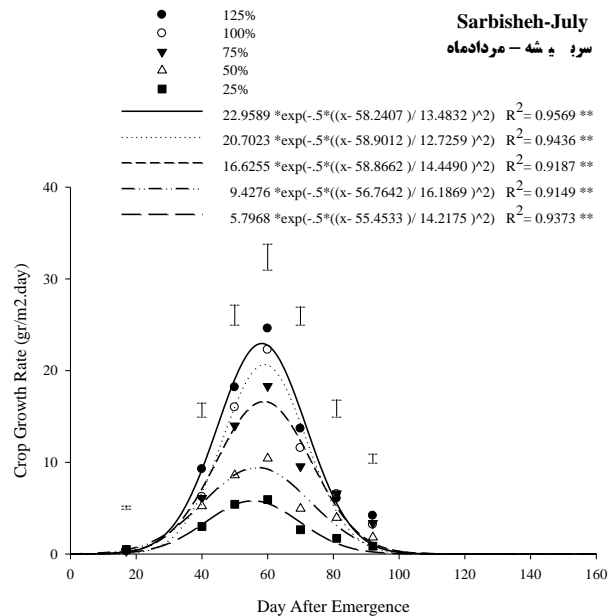
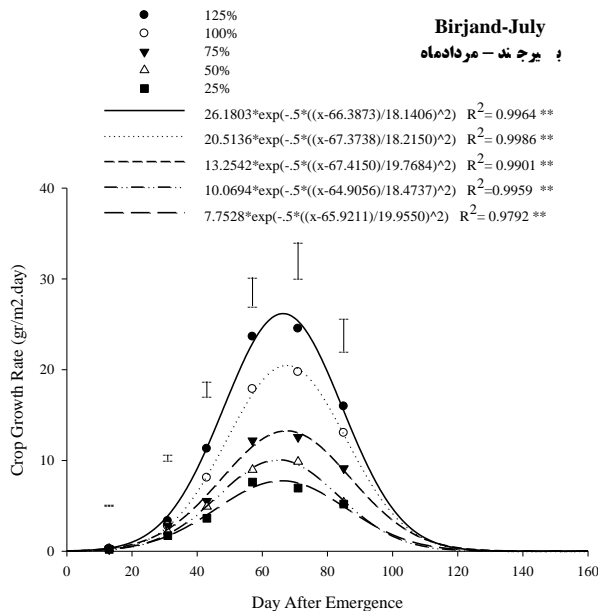
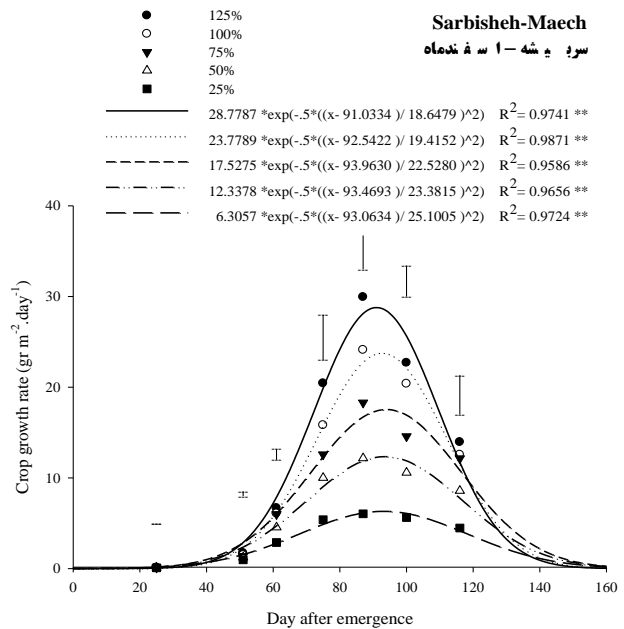
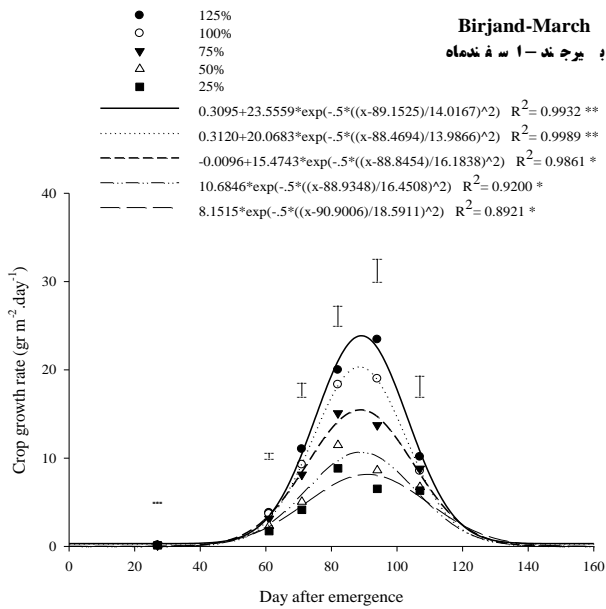
رقم گیزاوان دارای بیشترین RGR در ابتدای فصل رشد (۰/۲۰۴ و ۰/۱۸۴ گرم بر گرم در روز به ترتیب در سربیشه و بیرجند) بود که در سربیشه بین رقم گیزاوان با سایر ارقام اختلاف معنی‌دار مشاهده شد ولی در بیرجند این اختلاف معنی‌دار نبود (شکل ۵). کانسومجت و همکاران (Kansomjet et al., 2017) نیز اختلاف معنی‌داری بین ارقام کینوا در سرعت رشد نسبی مشاهده نمودند به نحوی که میزان این شاخص در رقم وردس، ۳۱/۸۰ و در رقم مراداس، ۲۳/۱۶

### روند تغییرات سرعت رشد نسبی در ارقام کینوا: نتایج

نشان داد که در کشت اسفندماه در هر دو شهرستان مورد مطالعه، رقم ردکارینا بیشترین RGR در ابتدای فصل رشد (۰/۲۰۱ و ۰/۱۷۲ گرم بر گرم در روز به ترتیب در سربیشه و بیرجند) را به خود اختصاص داد و با توجه به مقادیر LSD، در سربیشه، رقم ردکارینا تنها با رقم گیزاوان اختلاف معنی‌داری در صفت مورد مطالعه داشت و ولی در بیرجند اختلاف معنی‌دار با سایر ارقام مشاهده نشد. در کشت مردادماه،

بودند، ماده خشک بیشتری نیز تولید نمودند. اما در مطالعه نواب‌پور و همکاران (Navabpour, Latifi, Hosseini, & Kazemi, 2012) گزارش شد که روند تغییرات سرعت رشد نسبی در همه ارقام گندم تقریباً مشابه بود و اختلاف معنی‌داری بین آن‌ها مشاهده نشد.

میلی گرم بر گرم در روز بود. نتایج مطالعات روشنی و همکاران (Rowshani, Soleymani, Mahlooji, & Naderi, 2022) در گیاه جو و سلیمانی (Soleymani, 2017) در گیاه آفتابگردان نشان داد که اثر رقم بر سرعت رشد نسبی در سطح احتمال یک درصد معنی‌دار بود و همچنین ارقامی که دارای سرعت رشد نسبی بالاتری



شکل ۴- روند تغییرات سرعت رشد محصول در سطوح مختلف رطوبتی در طول فصل رشد در دو مکان و دو زمان (خطوط عمودی بالای هر مرحله نمونه‌برداری مقدار FLSD در سطح احتمال پنج درصد را نشان می‌دهد)

Figure 4- Crop growth rate changes in different humidity levels during the growing season in two locations and times (Vertical lines on each sampling represent FLSD value at the 5% level)

جدول ۵- تجزیه واریانس شاخص سرعت رشد نسبی (RGR) در طول فصل رشد در دو مکان و زمان

Table 5- Analysis of variance of Relative growth rate (RGR) during the growing season in two locations and times

Location	Planting date	S.O.V	Df	RGR <sub>1</sub>	RGR <sub>2</sub>	RGR <sub>3</sub>	RGR <sub>4</sub>	RGR <sub>5</sub>	RGR <sub>6</sub>					
										روز نمونه برداری				
										31	43	57	71	85
بیرجند	8 August مردادماه	Block	بلوک	2	0.0035 <sup>ns</sup>	0.0010 <sup>ns</sup>	0.0005 <sup>ns</sup>	8.97 E-5 <sup>ns</sup>	3.57 E-5 <sup>ns</sup>	-				
		Cultivar	رقم	2	0.0030 <sup>ns</sup>	0.0004 <sup>ns</sup>	0.0004 <sup>ns</sup>	1.81 E-5 <sup>ns</sup>	1.82 E-5 <sup>ns</sup>	-				
		Moisture levels	سطوح رطوبتی	4	0.0038 <sup>ns</sup>	0.0017 <sup>**</sup>	0.0002 <sup>ns</sup>	2.94 E-5 <sup>ns</sup>	6.08 E-5 <sup>ns</sup>	-				
		C × M	رقم × سطوح رطوبتی	8	0.0015 <sup>ns</sup>	0.0001 <sup>ns</sup>	0.0004 <sup>ns</sup>	9.23 E-5 <sup>ns</sup>	1.20 E-4 <sup>ns</sup>	-				
		Error	خطا	28	0.0016	0.0004	0.0002	0.00022	6.59 E-5	-				
		CV (%)	ضریب تغییرات		23.46	19.87	19.70	41.63	50.18	-				
	5 March اسفندماه	Block	بلوک	2	0.0014 <sup>ns</sup>	0.0005 <sup>ns</sup>	0.0006 <sup>*</sup>	2.80 E-5 <sup>ns</sup>	3.23 E-5 <sup>ns</sup>	-				
		Cultivar	رقم	2	0.0009 <sup>ns</sup>	0.0004 <sup>ns</sup>	2.95 E-5 <sup>ns</sup>	6.53 E-6 <sup>ns</sup>	5.91 E-5 <sup>ns</sup>	-				
		Moisture levels	سطوح رطوبتی	4	0.0046 <sup>**</sup>	0.0007 <sup>*</sup>	0.0001 <sup>ns</sup>	0.00036 <sup>**</sup>	9.37 E-5 <sup>*</sup>	-				
		C × M	رقم × سطوح رطوبتی	8	0.0010 <sup>ns</sup>	0.0002 <sup>ns</sup>	0.0003 <sup>ns</sup>	6.08 E-5 <sup>ns</sup>	2.90 E-5 <sup>ns</sup>	-				
		Error	خطا	28	0.0009	0.0002	0.00015	4.07 E-5	2.76 E-5	-				
		CV (%)	ضریب تغییرات		18.59	13.88	16.08	17.70	31.83	-				
	سربیشه	27 July مردادماه	Block	بلوک	2	0.0050 <sup>*</sup>	3.3 E-5 <sup>ns</sup>	0.0001 <sup>ns</sup>	6.79 E-7 <sup>ns</sup>	1.27 E-5 <sup>ns</sup>	1.84 E-6 <sup>ns</sup>			
			Cultivar	رقم	2	0.0104 <sup>**</sup>	0.0083 <sup>**</sup>	0.0005 <sup>*</sup>	0.00054 <sup>**</sup>	0.00013 <sup>**</sup>	2.89 E-6 <sup>ns</sup>			
			Moisture levels	سطوح رطوبتی	4	0.0125 <sup>**</sup>	0.0018 <sup>ns</sup>	0.0007 <sup>**</sup>	0.00013 <sup>**</sup>	2.71 E-5 <sup>ns</sup>	3.74 E-6 <sup>ns</sup>			
C × M			رقم × سطوح رطوبتی	8	0.0019 <sup>ns</sup>	0.0008 <sup>ns</sup>	0.0003 <sup>*</sup>	4.30 E-5 <sup>ns</sup>	1.50 E-5 <sup>ns</sup>	5.84 E-6 <sup>ns</sup>				
Error			خطا	28	0.0015	0.0007	0.00009	2.44 E-5	1.77 E-5	2.77 E-6				
CV (%)			ضریب تغییرات		22.11	25.90	16.30	26.28	43.88	34.80				
8 March اسفندماه		Block	بلوک	2	0.0038 <sup>ns</sup>	0.0005 <sup>ns</sup>	0.0005 <sup>ns</sup>	0.0010 <sup>*</sup>	4.77 E-5 <sup>ns</sup>	1.01 E-5 <sup>ns</sup>				
		Cultivar	رقم	2	0.0132 <sup>*</sup>	0.0018 <sup>**</sup>	4.17 E-5 <sup>ns</sup>	6.98 E-6 <sup>ns</sup>	1.19 E-5 <sup>ns</sup>	1.18 E-5 <sup>ns</sup>				
		Moisture levels	سطوح رطوبتی	4	0.0023 <sup>ns</sup>	0.0008 <sup>*</sup>	0.00137 <sup>*</sup>	0.00047 <sup>ns</sup>	2.89 E-5 <sup>ns</sup>	1.42 E-5 <sup>ns</sup>				
		C × M	رقم × سطوح رطوبتی	8	0.0014 <sup>ns</sup>	0.0019 <sup>**</sup>	0.00068 <sup>ns</sup>	0.00032 <sup>ns</sup>	7.41 E-5 <sup>ns</sup>	1.51 E-5 <sup>ns</sup>				
		Error	خطا	28	0.0027	0.0003	0.00049	0.00023	6.71 E-5	3.62 E-5				
		CV (%)	ضریب تغییرات (درصد)		30.60	12.52	26.95	28.84	31.13	42.60				

\*، \*\* و ns: به ترتیب معنی داری در سطح احتمال پنج و یک درصد و عدم معنی داری

\*، \*\*، and ns represent significant at of 5% and 1% probability level and not significant, respectively.

قابل توجه سرعت رشد نسبی بیانگر کاهش ماده خشک شده در اثر کاهش رشد شاخ و برگ در مرحله رشد سبزینه‌ای است که می‌تواند یکی از علل کاهش عملکرد محصول باشد (Molden, Murry- Rust, Sakthivandival, & Makin, 2001 Dadrasi, Aboutalebian, Ahmadvand, Mousavi, & Seyedi, 2012). بیان نمودند که سرعت رشد نسبی با افزایش سن گیاه کاهش یافت، در تیمار ۵۰ میلی‌متر تبخیر، میزان سرعت رشد نسبی با شیب کمتر نسبت به سایر تیمارهای دور آبیاری (۱۰۰ و ۱۵۰ میلی‌متر تبخیر) کاهش یافت. به نظر می‌رسد که در تیمارهای ۱۰۰ و ۱۵۰ میلی‌متر، رقابت برای کسب آب و عناصر غذایی در دوره زمانی بیشتری از فصل رشد ادامه داشت و در نتیجه میزان فتوسنتز خالص و در نهایت سرعت رشد نسبی کاهش بیشتری نسبت به تیمار ۵۰ میلی-

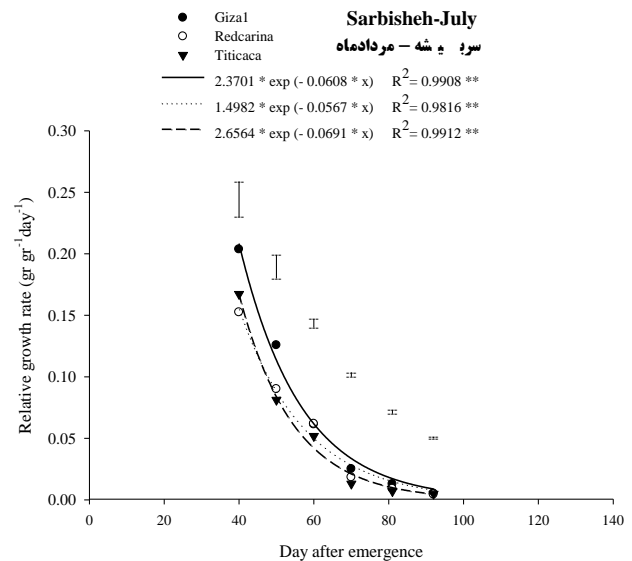
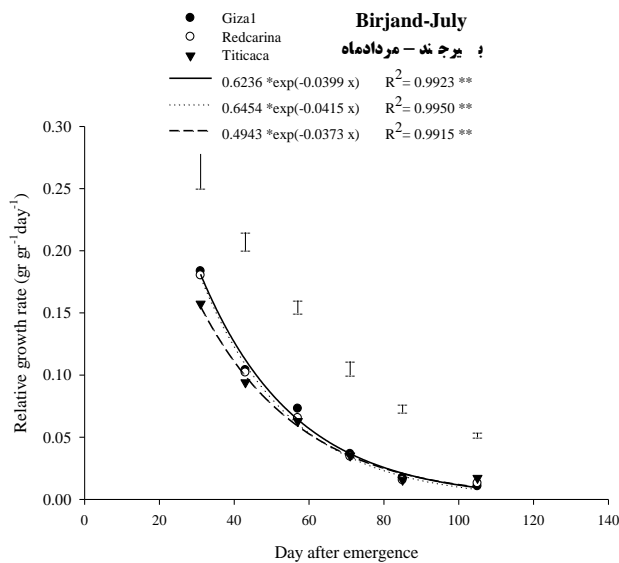
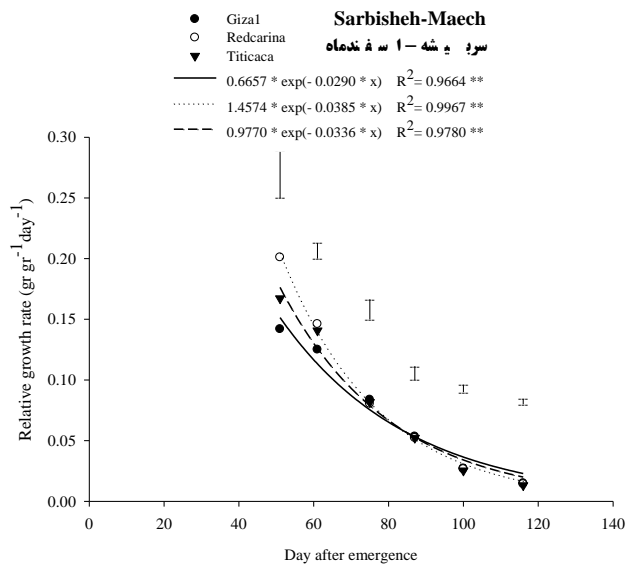
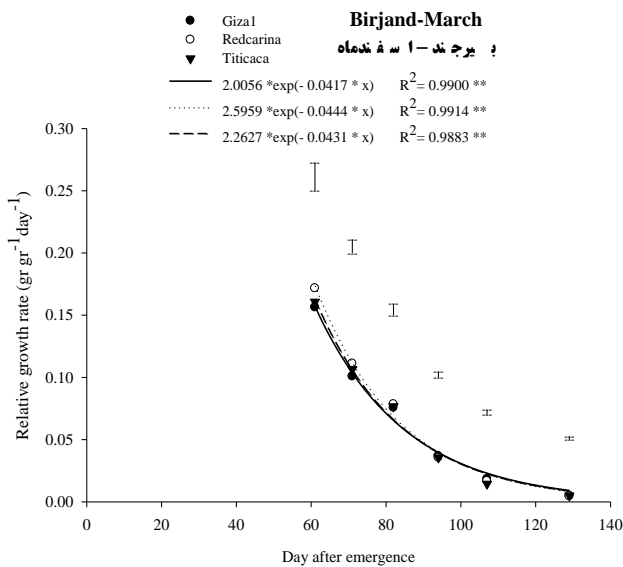
### اثر سطوح رطوبتی بر روند تغییرات سرعت رشد

نسبی: به‌طور کلی و با توجه به شکل ۶ می‌توان بیان نمود که در تمامی مکان‌ها و زمان‌های مورد مطالعه، بالاترین میزان RGR در ابتدای فصل رشد در سطح ۱۲۵ درصد نیاز آبی (۰/۱۸۹، ۰/۱۸۶، ۰/۲۱۴ و ۰/۲۰۰ گرم بر گرم در روز به ترتیب در اسفندماه سربیشه و بیرجند و مردادماه سربیشه و بیرجند) مشاهده شد. در ابتدای فصل رشد، در کشت اسفند و مرداد سربیشه، بین سطوح رطوبتی اختلاف معنی‌داری وجود نداشت. تنش در مراحل اولیه، باعث توقف رشد گیاه و بلوغ سلول‌های ساقه می‌گردد که به دنبال آن بافت‌های ساختمانی کمتری تشکیل شد (Amiri Deh Ahmadi, Parsa, Nezami, & Ganjeali, 2011). با کاهش مقدار آب میزان تجمع مواد فتوسنتزی و سرعت رشد نسبی کاهش می‌یابد و افت



مشاهده نشد و همچنین میزان حساسیت سرعت رشد نسبی به تنش رطوبتی در گیاه آویشن کوهی پایین بود (Bahreininejad & Razmjoo, 2014).

متر تبخیر که آب برای آن‌ها فراهم بوده، را داشتند. در مطالعه دیگر بیان شد، اگرچه میزان سرعت رشد نسبی در تیمار عدم تنش نسبت به دو تیمار دیگر بیشتر بود ولی این تفاوت معنی‌دار نبود. تفاوت قابل توجهی بین مقادیر موجود در سال اول و دوم در آزمایش آن‌ها



شکل ۵- روند تغییرات سرعت رشد نسبی در ارقام کینوا در طول فصل رشد در دو مکان و دو زمان (خطوط عمودی بالای هر مرحله نمونه برداری مقدار FLSD در سطح احتمال پنج درصد را نشان می‌دهد)

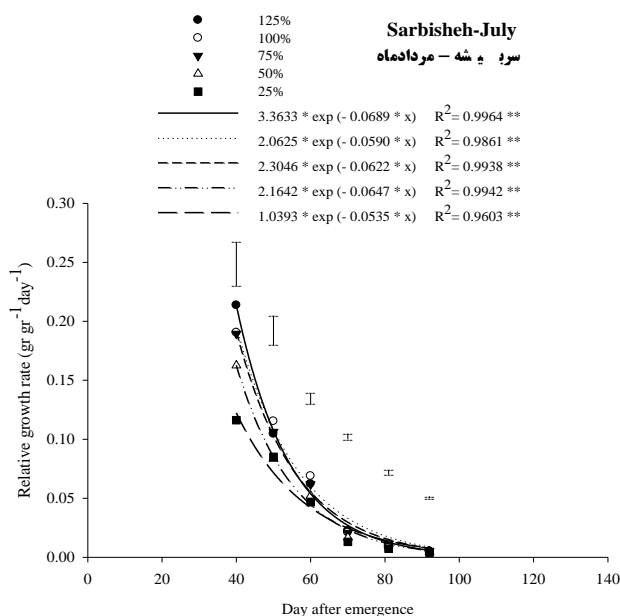
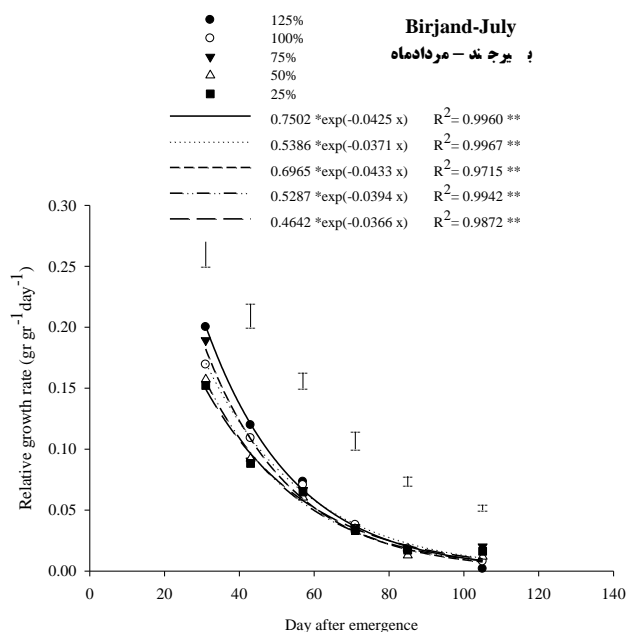
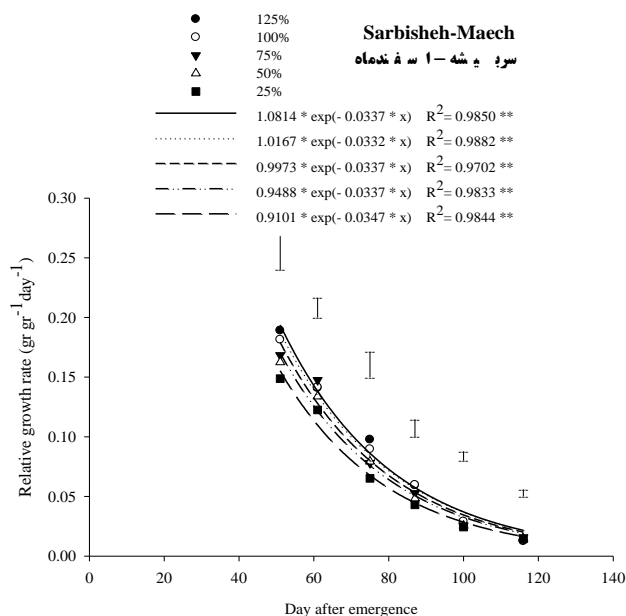
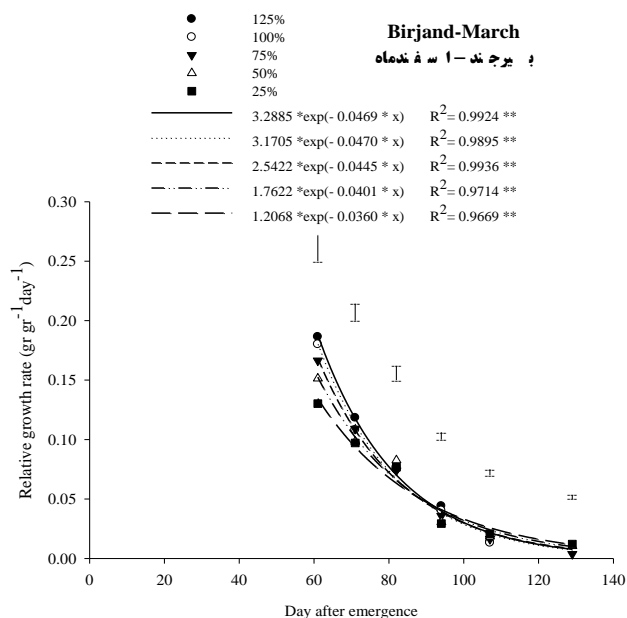
Figure 5- Relative growth rate Changes of quinoa cultivars during the growing season in two locations and times. (Vertical lines on each sampling represent FLSD value at the 5% level)

و مکان مورد مطالعه یکسان بود. در اوایل فصل رشد به علت جذب زیاد تشعشعات خورشیدی سرعت جذب خالص افزایش می‌یابد و در ادامه با افزایش میزان شاخص سطح برگ در گیاه، میزان سرعت

سرعت جذب خالص (NAR): برآزش معادله و ضرایب رگرسیونی نشان داد که تغییرات سرعت جذب خالص از معادلات لجستیک (سیگموئیدی) تبعیت می‌کند که روند آن برای هر دو زمان

برگ‌های پیرتر، تنفس در برگ‌های پایینی یا فتوستنتز در برگ‌های بالایی، به حال تعادل در می‌آیند به همین جهت سرعت جذب خالص به صفر سقوط می‌نماید (Rowshani *et al.*, 2022) به نقل از Abdi *et al.*, 2007).

فتوستنتز خالص گیاه به دلیل افزایش میزان سایه‌اندازی برگ‌ها بر روی یکدیگر کاهش پیدا کرد (Hosseini *et al.*, 2020). میزان سرعت جذب خالص با توجه آرایش برگ‌های گیاه و شرایط محیطی برای گیاهان مختلف یکسان نیست؛ اما عمدتاً پیشروی رشد گیاه به علت سایه‌اندازی متقابل برگ‌ها و کاهش راندمان فتوستنتزی



شکل ۶- روند تغییرات سرعت رشد در ارقام کینوا در طول فصل رشد در دو مکان و دو زمان (خطوط عمودی بالای هر مرحله نمونه‌برداری مقدار FLSD در سطح احتمال پنج درصد را نشان می‌دهد)

Figure 6- Relative growth rate changes in different humidity levels during the growing season in two locations and times. (Vertical lines on each sampling represent FLSD value at the 5% level)

سرعت اسیمیلاسیون خالص در سطح احتمال پنج درصد در آفتابگردان معنی‌دار بود و همچنین روشنی و همکاران (Rowshani *et al.*, 2022) نیز بیان نمودند که اثر رقم بر سرعت جذب خالص در گیاه جو، در سطح احتمال یک درصد معنی‌دار بود. در مطالعه دیگر نیز روند تغییرات سرعت جذب خالص در هر پنج رقم گندم، بررسی گردید و بیان نمودند که بالاترین سرعت جذب خالص در رقمی مشاهده شد که این رقم در بین ارقامی که بالاترین سطح برگ را به خود اختصاص دادند، قرار نداشت ولی آرایش برگ مناسب و سرعت بالای رسیدن به حداکثر سطح برگ مطلوب باعث سرعت جذب خالص بیشتر گردید (Navabpour *et al.*, 2012).

**روند تغییرات سرعت جذب خالص در ارقام کینوا:** به‌طور کلی در کشت اسفندماه رقم ردکارینا و در کشت مردادماه رقم گیزاوان از میزان سرعت جذب خالص بالاتری برخوردار بودند اما در تمامی کشت‌ها، براساس نتایج تجزیه واریانس و میزان LSD قرارداده شده در هر نقطه از نمودارها، بین ارقام اختلاف معنی‌دار مشاهده نشد که احتمالاً سرعت جذب خالص در ارقامی که دارای سطح برگ بیشتری بودند، به‌دلیل سایه‌اندازی برگ‌های بالایی بر برگ‌های پایینی، کاهش یافت و موجب عدم اختلاف بین ارقام گردید (شکل ۷ و جدول ۶). در مطالعه‌ی کانسومجت و همکاران (Kansomjet *et al.*, 2017)، اختلاف معنی‌داری بین ارقام کینوا در صفت مذکور مشاهده نشد. اما در مطالعه سلیمانی (Soleymani, 2017) اثر رقم بر حداکثر

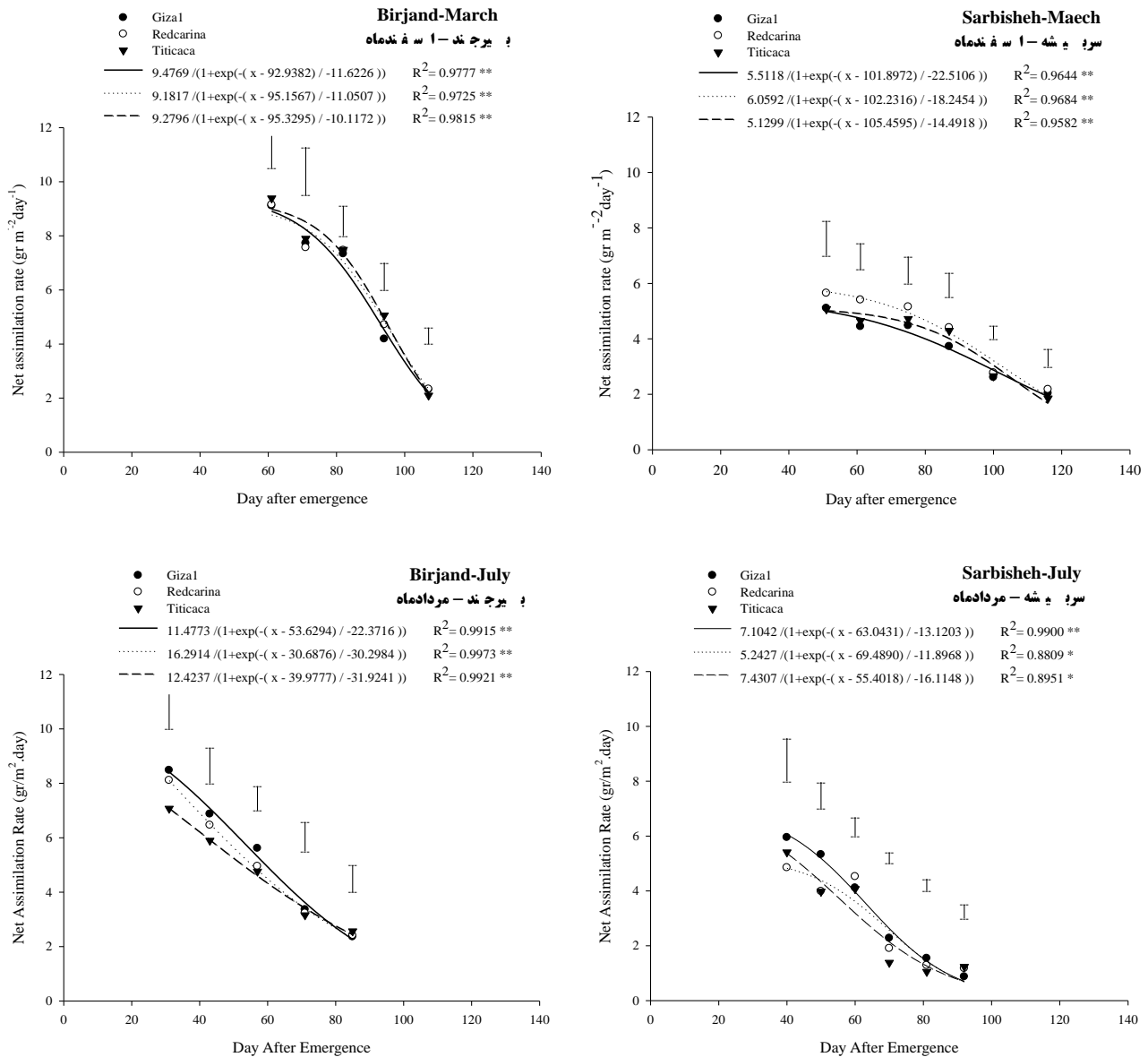
جدول ۶- تجزیه واریانس شاخص سرعت جذب خالص (NAR) در طول فصل رشد در دو مکان و زمان

Table 6- Analysis of variance of Net assimilation rate (NAR) during the growing season in two locations and times

Location	Planting date	S.O.V	Df	NAR <sub>1</sub>	NAR <sub>2</sub>	NAR <sub>3</sub>	NAR <sub>4</sub>	NAR <sub>5</sub>	NAR <sub>6</sub>	
				Sampling day (Day after emergence)					روز نمونه‌برداری	
				31	43	57	71	85	-	
Bijand بیرجند	8 August مردادماه	Block	بلوک	2	1.659 <sup>ns</sup>	2.232 <sup>ns</sup>	1.013 <sup>ns</sup>	1.634 <sup>ns</sup>	0.199 <sup>ns</sup>	-
		Cultivar	رقم	2	8.011 <sup>ns</sup>	3.624 <sup>ns</sup>	2.998 <sup>ns</sup>	0.165 <sup>ns</sup>	0.276 <sup>ns</sup>	-
		Moisture levels	سطوح رطوبتی	4	13.978 <sup>*</sup>	13.450 <sup>**</sup>	7.862 <sup>**</sup>	3.601 <sup>ns</sup>	1.860 <sup>ns</sup>	-
		C × M	رقم × سطوح رطوبتی	8	5.736 <sup>ns</sup>	1.464 <sup>ns</sup>	3.756 <sup>*</sup>	0.936 <sup>ns</sup>	2.444 <sup>ns</sup>	-
		Error	خطا	28	3.810	3.054	1.427	2.061	1.746	-
		CV (%)	ضریب تغییرات		24.75	27.26	23.38	44.18	54.04	-
	5 March اسفندماه	Block	بلوک	2	6.094 <sup>ns</sup>	2.960 <sup>ns</sup>	5.674 <sup>ns</sup>	3.507 <sup>ns</sup>	0.008 <sup>ns</sup>	-
		Cultivar	رقم	2	0.343 <sup>ns</sup>	0.414 <sup>ns</sup>	0.103 <sup>ns</sup>	2.896 <sup>ns</sup>	0.265 <sup>ns</sup>	-
		Moisture levels	سطوح رطوبتی	4	11.755 <sup>*</sup>	21.093 <sup>*</sup>	18.092 <sup>**</sup>	19.412 <sup>**</sup>	0.575 <sup>ns</sup>	-
		C × M	رقم × سطوح رطوبتی	8	5.577 <sup>ns</sup>	3.078 <sup>ns</sup>	0.355 <sup>ns</sup>	1.625 <sup>ns</sup>	0.794 <sup>ns</sup>	-
Error		خطا	28	3.590	5.685	2.184	1.813	0.655	-	
CV (%)		ضریب تغییرات		20.56	30.85	19.89	28.92	36.00	-	
Sarbisheh سریشه	27 July مردادماه	Block	بلوک	2	4.374 <sup>ns</sup>	3.373 <sup>ns</sup>	1.784 <sup>ns</sup>	0.912 <sup>ns</sup>	0.011 <sup>ns</sup>	0.769 <sup>ns</sup>
		Cultivar	رقم	2	4.532 <sup>ns</sup>	9.031 <sup>*</sup>	0.940 <sup>ns</sup>	3.036 <sup>**</sup>	0.0899 <sup>ns</sup>	2.873 <sup>**</sup>
		Moisture levels	سطوح رطوبتی	4	16.214 <sup>*</sup>	4.687 <sup>*</sup>	4.916 <sup>**</sup>	1.600 <sup>**</sup>	0.439 <sup>ns</sup>	0.150 <sup>ns</sup>
		C × M	رقم × سطوح رطوبتی	8	3.392 <sup>ns</sup>	1.328 <sup>ns</sup>	2.789 <sup>**</sup>	0.402 <sup>ns</sup>	0.494 <sup>ns</sup>	0.506 <sup>ns</sup>
		Error	خطا	28	4.409	1.675	0.848	0.294	0.347	0.444
		CV (%)	ضریب تغییرات		38.86	29.21	21.74	29.25	45.50	52.83
	8 March اسفندماه	Block	بلوک	2	0.990 <sup>ns</sup>	3.496 <sup>ns</sup>	3.866 <sup>ns</sup>	3.053 <sup>ns</sup>	0.487 <sup>ns</sup>	0.218 <sup>ns</sup>
		Cultivar	رقم	2	1.577 <sup>ns</sup>	3.838 <sup>ns</sup>	1.760 <sup>ns</sup>	2.005 <sup>ns</sup>	0.106 <sup>ns</sup>	0.390 <sup>ns</sup>
		Moisture levels	سطوح رطوبتی	4	4.367 <sup>ns</sup>	4.228 <sup>ns</sup>	6.566 <sup>*</sup>	8.084 <sup>**</sup>	2.044 <sup>**</sup>	0.091 <sup>ns</sup>
		C × M	رقم × سطوح رطوبتی	8	3.864 <sup>ns</sup>	6.278 <sup>**</sup>	1.931 <sup>ns</sup>	2.887 <sup>ns</sup>	0.464 <sup>ns</sup>	0.357 <sup>ns</sup>
Error		خطا	28	2.804	1.601	1.673	1.377	0.395	0.717	
CV (%)		ضریب تغییرات		31.74	26.18	27.04	28.34	23.44	41.88	

\*، \*\* و ns: به ترتیب معنی‌داری در سطح احتمال پنج و یک درصد و عدم معنی‌داری

\*, \*\*, and ns represent significant at of 5% and 1% probability level and not significant, respectively.



شکل ۷- روند تغییرات سرعت جذب خالص در ارقام کینوا در طول فصل رشد در دو مکان و دو زمان (خطوط عمودی بالای هر مرحله نمونه برداری مقدار FLSD در سطح احتمال پنج درصد را نشان می دهد)

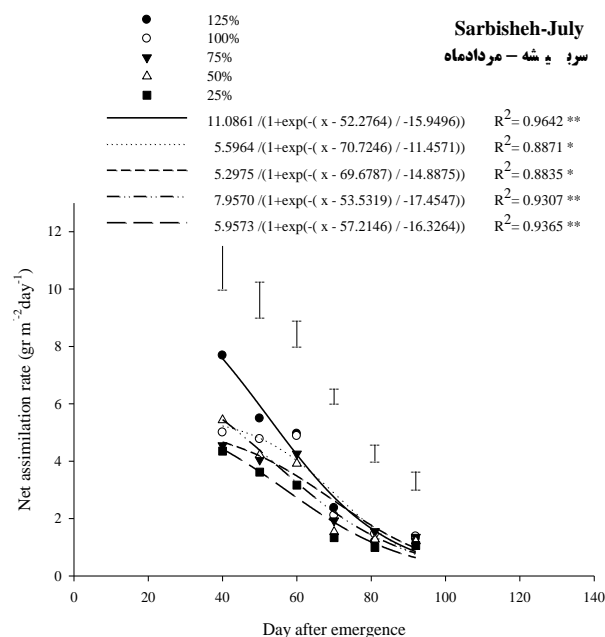
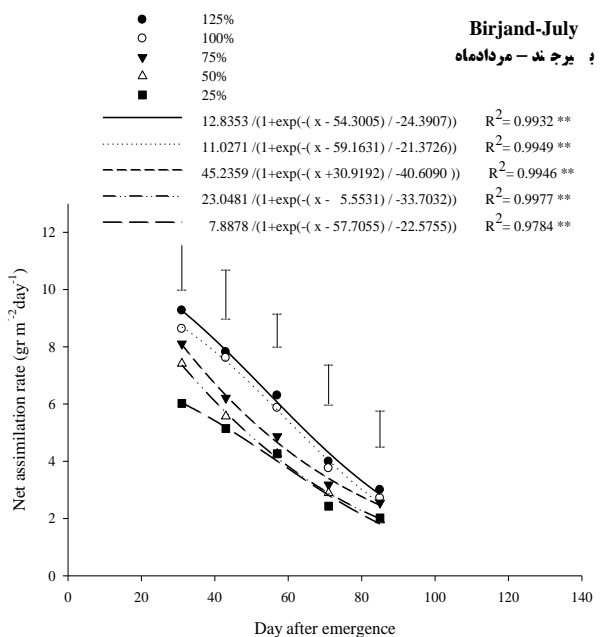
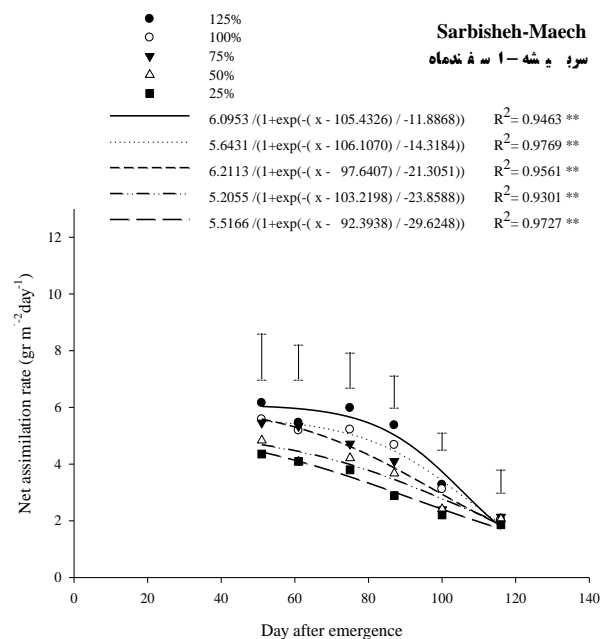
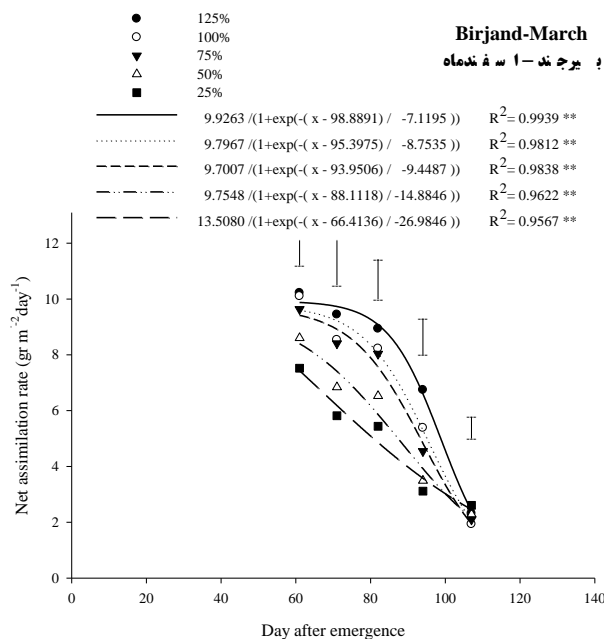
Figure 7- Net assimilation rate Changes of quinoa cultivars during the growing season in two locations and times (Vertical lines on each sampling represent FLSD value at the 5% level)

۱۰۰، ۷۵، ۵۰ و ۲۵ درصد نیاز آبی در کشت اسفندماه سربیشه به ترتیب ۹/۴۲، ۱۱/۳۴، ۲۱/۴۴ و ۲۹/۲۷ درصد، در کشت اسفندماه بیرجند به ترتیب ۱/۱۳، ۵/۷۴، ۱۵/۸۴ و ۲۶/۴۱ درصد، در کشت مردادماه سربیشه به ترتیب ۳۴/۹۲، ۴۰/۸۱، ۲۹/۳۱ و ۴۳/۳۹ درصد و در نهایت در کشت مردادماه بیرجند به ترتیب ۶/۹۵، ۱۲/۵۶، ۲۰/۰۴ و ۳۵/۰۵ درصد بود (شکل ۸ و جدول ۶). غیاث آبادی و همکاران (Ghiasabadi, Khajeh Hosseini, & Mohammadabadi, )

**اثر سطوح رطوبتی بر روند تغییرات سرعت جذب خالص:** بالاترین میزان سرعت جذب خالص در ابتدای فصل رشد، متعلق به سطح ۱۲۵ درصد نیاز آبی به میزان ۶/۱۶، ۱۰/۲۲، ۷/۶۸ و ۹/۲۷ گرم بر مترمربع برگ در روز به ترتیب در اسفندماه سربیشه و بیرجند و مردادماه سربیشه و بیرجند بود که با توجه به میزان LSD و نتایج تجزیه واریانس، این اختلاف تنها با سطح ۲۵ درصد نیاز آبی معنی دار گردید. درصد کاهش میزان NAR اولیه از سطح ۱۲۵ به

این افت نسبی در محیط نامناسب و تنش خشکی و کمبود آب تسریع می‌شود.

بیان نمودند که میزان جذب خالص با گذشت زمان ثابت نمی‌ماند و با افزایش سن گیاه یک افت نزولی در رشد نشان می‌دهد و



شکل ۸- روند تغییرات سرعت جذب خالص در سطوح مختلف رطوبتی در طول فصل رشد در دو مکان و دو زمان (خطوط عمودی بالای هر مرحله نمونه‌برداری مقدار FLSD در سطح احتمال پنج درصد را نشان می‌دهد)

Figure 8- Net assimilation rate changes in different humidity levels during the growing season in two locations and times (Vertical lines on each sampling represent FLSD value at the 5% level)

حداکثر سرعت اسیمیلاسیون خالص در سطح احتمال پنج درصد در

در مطالعه سلیمانی (Soleymani, 2017)، اثر تیمار آبیاری بر

رقم ردکارینا به صورت معنی‌داری دارای عملکرد دانه بیشتری نسبت به سایر ارقام بود به نحوی که عملکرد دانه رقم مذکور در منطقه بیرجند و سربیشه به ترتیب ۲۸۵/۴۹ و ۹۲۹/۰۸ کیلوگرم در هکتار بود (جدول ۸). اختلافات ژنتیکی در گیاهان و ارقام مختلف یک گونه، با تأثیر بر جذب نور، بر میزان فتوسنتز و عملکرد ارقام مختلف تأثیر دارد (Corraliza, Rplp, Lopez, & Moreno, 2019). جرفای و همکاران (Jorfi, Alavifazel, Gilani, & Ardakani, 2022) نیز با بررسی سه رقم کینوا بیان نمودند که وزن کل دانه در ارقام Giza1، Q26 و Titicaca به ترتیب ۳/۸۳، ۵/۲۴ و ۲/۵۴ گرم در بوته بود. شیتیکوا و همکاران (Khaliluev, 2022) بررسی پنج ژنوتیپ کینوا گزارش نمودند که ارقام Cherry-Vanilla و Regalona بیشترین عملکرد دانه را به ترتیب به میزان ۲/۵۹ و ۲/۳۹ تن در هکتار تولید نمودند. در مطالعه دیگر، با مقایسه عملکرد دانه پنج رقم گزارش شد که بالاترین عملکرد دانه در ارقام Amarllia Maranagani، Salcedo-INIA و Amarllia-Sacaca به ترتیب به میزان ۴/۰۴، ۳/۹۹ و ۳/۹۵ تن در هکتار مشاهده شد (Alkhamisi et al., 2021).

آفتابگردان معنی‌دار بود. بیشترین سرعت اسیمیلاسیون خالص در تیمار آبیاری ۱۸۰ میلی‌متر (۱۲/۵۱ گرم بر مترمربع در روز) حاصل شد که اختلاف آن آبیاری ۱۵۰ میلی‌متر (۱۱/۰۱ گرم بر مترمربع در روز) معنی‌دار نبود. کمترین سرعت اسیمیلاسیون خالص در تیمار آبیاری معمول (۹/۴۰ گرم بر مترمربع در روز) حاصل شد که اختلاف آن صرفاً با تیمار آبیاری ۱۵۰ میلی‌متر معنی‌دار نبود. حداکثر سرعت جذب خالص سیر نیز در شرایط تنش خشکی کاهش یافت به نحوی که میزان این شاخص در ۸۰، ۱۰۰ و ۶۰ درصد نیاز آبی به ترتیب ۴/۹۲، ۳/۷۱ و ۲/۶۶ گرم بر مترمربع برگ در روز بود (Akbari, Kafi, & Rezvan Beidokhti, 2017).

### عملکرد دانه

بر اساس نتایج تجزیه واریانس، اثرات ساده رقم و سطوح رطوبتی بر عملکرد دانه در هر چهار آزمایش ( $p \leq 0.01$ ) معنی‌دار بود اما اثر متقابل آن‌ها تأثیر معنی‌داری بر این صفت نداشت (جدول ۷). در کشت مردادماه و در هر دو منطقه مورد مطالعه، رقم گیزاوان بیشترین عملکرد دانه (۲۶۰۸/۷۵ و ۲۰۷۳/۹۳ کیلوگرم در هکتار به ترتیب در بیرجند و سربیشه) را تولید نمود اما در کشت اسفندماه،

جدول ۷- تجزیه واریانس عملکرد دانه در دو مکان و زمان

Table 7- Analysis of variance of seed yield in two locations and times

S.O.V	Df	بیرجند		سربیشه		
		Birjand		Sarbisheh		
		مردادماه 8 August	اسفندماه 5 March	مردادماه 27 July	اسفندماه 8 March	
Block	بلوک	2	185129.0 <sup>ns</sup>	2803.5 <sup>ns</sup>	919618.1 <sup>*</sup>	3125.6 <sup>ns</sup>
Cultivar	رقم	2	1370169.0 <sup>**</sup>	77725.0 <sup>**</sup>	3015022.5 <sup>**</sup>	102058.2 <sup>**</sup>
Moisture levels	سطوح رطوبتی	4	5794136.2 <sup>**</sup>	41024.8 <sup>**</sup>	8011785.5 <sup>**</sup>	1391890.1 <sup>**</sup>
C × M	رقم × سطوح رطوبتی	8	87840.1 <sup>ns</sup>	1872.5 <sup>ns</sup>	347186.9 <sup>ns</sup>	20020.3 <sup>ns</sup>
Error	خطا	28	94459.9	1678.9	230309	14632.3
CV (%)	ضریب تغییرات		13.2	18.8	30.8	14.5

<sup>\*</sup>، <sup>\*\*</sup> و <sup>ns</sup>: به ترتیب معنی‌داری در سطح احتمال پنج و یک درصد و عدم معنی‌داری

<sup>\*</sup>، <sup>\*\*</sup>، and <sup>ns</sup> represent significant at of 5% and 1% probability level and not significant, respectively.

کشت اسفندماه سربیشه گردید (جدول ۸). محمدی و همکاران (Mohammadi, Maleki, & Fathi, 2021) با بررسی سه سطح تنش خشکی بیان نمودند که تنش منجر به کاهش معنی‌دار عملکرد دانه کینوا گردید و عملکرد دانه در تیمارهای بدون تنش، تنش متوسط و تنش شدید به ترتیب ۱۸۷۶/۶۷، ۱۵۳۸/۰۸ و ۱۰۸۸/۳۳ کیلوگرم در هکتار بود. سالک معراجی و همکاران (Salek Mearaji et al., 2020) گزارش نمودند که بیشترین و کمترین عملکرد دانه کینوا با ۲۳۶۴/۷ و ۱۷۰۱/۸ کیلوگرم در هکتار، به ترتیب در شرایط آبیاری مطلوب و تنش خشکی به دست آمد و تنش خشکی سبب

بالاترین عملکرد دانه در هر چهار آزمایش، متعلق به سطح ۱۲۵ درصد نیاز آبی بود اما در کشت اسفندماه و در هر دو منطقه مورد مطالعه، بین سطوح ۱۰۰ و ۱۲۵ درصد نیاز آبی اختلاف معنی‌داری مشاهده نشد. به طور کلی کاهش آبیاری از سطح ۱۲۵ درصد به سطوح ۱۰۰، ۷۵، ۵۰ و ۲۵ درصد نیاز آبی به ترتیب موجب کاهش ۱۲/۸۵، ۲۱/۸۳، ۴۵/۹۲ و ۶۰/۹۵ درصد در کشت مردادماه بیرجند، به ترتیب ۱۸/۶۳، ۳۸/۳۰، ۷۲/۸۸ و ۸۲/۰۶ درصد در کشت مردادماه سربیشه، به ترتیب ۱۰/۷۱، ۲۵/۶۴، ۴۲/۱۶ و ۵۵/۷۱ درصد در کشت اسفندماه بیرجند و به ترتیب ۱/۷۶، ۲۶/۵۶، ۵۲/۵۷ و ۷۴/۷۰ درصد در

کاهش ۲۸ درصدی عملکرد دانه گردید. براساس نظر ایشان، در شرایط تنش، کاهش در تعداد برگ و سطح برگ سبب کاهش فتوسنتز در گیاه شده و در نهایت عملکرد دانه کاهش پیدا کرده است.

جدول ۸- مقایسه میانگین اثرات رقم و سطوح رطوبتی بر عملکرد دانه در دو مکان و زمان

Table 8- Mean comparison of cultivar and moisture levels effects on seed yield in two locations and times

Levels of experiment factor سطوح عامل‌های آزمایشی		بیرجند		سریشیه	
		Birjand		Sarbisheh	
		مردادماه	اسفندماه	مردادماه	اسفندماه
		8 August	5 March	27 July	8 March
رقم	Titicaca	2005.96 c	142.28 c	1289.09 b	775.51 b
	Redcarina	2346.29 b	285.49 a	1305.97 b	929.08 a
Cultivar	Gizal	2608.75 a	226.70 b	2073.93 a	800.11 b
سطوح رطوبتی (نیاز آبی)	125%	3236.59 a	298.21 a	2700.79 a	1212.10 a
	100%	2820.77 b	266.27 a	2197.60 b	1190.73 a
	75%	2530.15 b	221.75 b	1666.33 c	890.15 b
Moisture levels (Water requirement)	50%	1750.42 c	172.50 c	732.52 d	574.94 c
	25%	1263.74 d	132.07 d	484.41 d	306.61 d

میانگین‌های دارای حروف مشابه در هر ستون و فاکتور آزمایشی، نشان‌دهنده عدم اختلاف معنی‌دار در سطح احتمال ۰/۰۵ براساس آزمون FLSD می‌باشد.

Means in each column and each experiment factors followed by the similar letters are not significantly different at the 5% probability level using FLSD.

## نتیجه‌گیری

دانه مشاهده نگردید اما در این اختلاف در کشت مردادماه معنی‌دار بود. عملکرد دانه تحت تاثیر روند تغییرات شاخص‌های رشدی قرار گرفت در زمان و مکان‌های مورد مطالعه قرار گرفت. براساس نتایج این پژوهش، کاربرد فرمول‌های تجربی که در کشورهای اروپایی کالیبره می‌گردند، برای مناطق خشک مانند استان خراسان جنوبی (خصوصاً در کشت مردادماه یا کشت تابستانه)، بدون استفاده از روش لایسیمتری اشتباه می‌باشد و به همین خاطر سطح ۱۲۵ درصد در این پژوهش، معادل با آبیاری کامل بود.

به‌طور کلی می‌توان بیان نمود که بالاترین میزان حداکثر LAI و بیشترین RGR و NAR در ابتدای فصل رشد و همچنین بیشترین عملکرد دانه در کشت اسفندماه در هر دو شهرستان مورد مطالعه، متعلق به رقم ردکارینا و در کشت مردادماه، متعلق به رقم گیزاوان بود. اعمال کم‌آبیاری نیز موجب کاهش معنی‌دار شاخص‌های رشدی و عملکرد دانه در هر چهار آزمایش گردید. در کشت اسفندماه، بین سطوح ۱۰۰ و ۱۲۵ درصد نیازآبی اختلاف معنی‌دار در عملکرد

## References

- Abtali, Y., Baghestani, M. A., & Abtali, M. (2009). Competitive effect of wild mustard (*Sinapis arvensis* L.) on yield and growth indices of canola (*Berisica napus* L.) cultivars. *Weed Research Journal*, 1(2), 63-72.
- Akbari, S., Kafi, M., & Rezvan Beidokhti, S. (2017). Effect of drought stress on growth and morphological characteristics of two garlic (*Allium sativum* L.) ecotypes in different planting densities. *Journal of Agroecology*, 9(2), 559-574. (in Persian with English abstract). <https://doi.org/10.22067/jag.v9i2.62141>
- AlKhamisi, S. A., Nadaf, S. K., Al-Jabri, N. M., Al-Hashmi, K. S., Al-Shirawi, A. I., Khan, R. R., Al-Sulaim, H. A., & Al-Azri, M. S. (2021). Productivity of Quinoa (*Chenopodium quinoa* L.) Genotypes across Different Agro-Ecological Regions of Oman. *The Open Agriculture Journal*, 15, 98-109. <https://doi.org/10.2174/1874331502115010098>
- Amer, S., Hassan, M., Ehsanullah, Shakeel, A. A., Mohsin, T., & Aziz, R. (2014). Growth and development of *Chenopodium quinoa* genotypes at different sowing dates. *Journal of Agricultural Research*, 52(4), 535-546.
- Amiri Deh Ahmadi, S. R., Parsa, M., Nezami, A., & Ganjeali, A. (2011). The effects of drought stress at different phenological stages on growth indices of chickpea (*Cicer arietinum* L.) in greenhouse conditions. *Iranian Journal of Pulses Research*, 1(2), 69-84. (in Persian with English abstract).
- Bagheri, M. (2018). *Handbook of quinoa cultivation*. Seed and Plant Improvement Institute Publication. 48 P. (In Persian).
- Bahreininejad, B., & Razmjoo, J. (2014). Effects of water stress on physiological growth indices and phonological traits in *Thymus kotschyanus* Boiss. *Journal of Plant Process and Function*, 3(7), 67-80. (In Persian). <https://dorl.net/dor/20.1001.1.23222727.1393.3.7.6.9>
- Baygi, Z., Saifzade, S., Shirani Rad, A. H., Valadabad, S. A. R., & Jafarinejad, A. (2017). Effects of planting date

- on growth indices and yield and yield components spring wheat cultivars in Neyshabur. *Applied Field Crops Research*, 30(2), 1-18. (In Persian). <https://doi.org/10.22092/aj.2018.109088.1113>
9. Bazile, D., Jacobsen, S. E., & Verniau, A. (2016 a). The global expansion of quinoa: trends and limits. *Frontiers in Plant Science*, 7, 1-6. <https://doi.org/10.3389/fpls.2016.00622>
  10. Bazile, D., Pulvento, C., Verniau, A., Al-Nusairi, M. S., Ba, D., Breidy, J., Hassan, L., Mohammed, M. I., Mambetov, O., Otambekova, M., Sepahvand, N. A., Shams, A., Souici, D., Miri, K., & Padulosi, S. (2016 b). Worldwide Evaluations of Quinoa: Preliminary results from post international year of quinoa FAO projects in nine countries. *Frontiers in Plant Science*, 7, 1-18. <https://doi.org/10.3389/fpls.2016.00850>
  11. Corraliza, M. G., Rplp, V., Lopez, M. L., & Moreno, G. (2019). Wheat and barley can increase grain yield in shade through acclimation of physiological and morphological traits in Mediterranean conditions. *Scientific Reports*, 9, 9547. <https://doi.org/10.1038/s41598-019-46027-9>
  12. Dadrasi, V. A., Aboutalebian, M. A., Ahmadvand, G., Mousavi, S. S., & Seyedi, M. (2012). Effect of on-farm seed priming and irrigation interval the on-growth indices of two corn cultivars (*Zea mays* L.). *Cereal Knowledge*, 5(7), 67-88. (in Persian with English abstract).
  13. De Oliveira Vergara, R., Martins, A. B. N., Pedo, T., Radke, A. K., Gadotti, G. I., Villela, F. A., da Motta Xavier, F., Eberhardt, P. E. R., Cavalcante, J. A., & Meneguzzo, M. R. R. (2019). Plant growth and physiological quality of quinoa (*Chenopodium quinoa* Willd) seeds grown in Southern Rio Grande do Sul, Brazil. *Australian Journal of Crop Science*, 13(5), 678-682. <https://doi.org/10.21475/ajcs.19.13.05.p1240>.
  14. Esfandyari, J., & Fotokian, M. H. (2021). Relationships between some Morphological Traits with Grain and Plant Dry Weight in Quinoa (*Chenopodium quinoa* Willd.) Genotypes. *Plant Production Technology*, 21(1), 135-146. (in Persian with English abstract). <https://doi.org/10.22084/PPT.2021.21704.1994>
  15. Fazeli, F., Akbari, G. A., Akbari, G. A., Naderi Arefi, A., & Benakashani, F. (2021). Response of different quinoa (*Chenopodium quinoa*) genotypes to planting date in terms of morphological traits, yield and yield components in Garmsar region. *Iranian Journal of Field Crop Science*, 52(2), 41-49. (in Persian with English abstract). <https://doi.org/10.22059/ijfcs.2020.303866.654725>
  16. Fghire, R., Anaya, F., Ali Issa, O., & Wahbi, S. (2017). Physiological and growth response traits to water deficit as indicators of tolerance criteria between quinoa genotypes. *Journal of Materials and Environmental Sciences*, 8(6), 2084-2093.
  17. Fghire, R., Wahbi, S., Anaya, F., Ali Issa, O., Benlhabib, O., & Ragab, R. (2015). Response of quinoa to different water management strategies: field experiments and saltmed model application results. *Irrigation and Drainage*. Published online in Wiley Online Library (wileyonlinelibrary.com). 1-12. <https://doi.org/10.1002/ird.1895>.
  18. Food and Agriculture Organization (FAO). (2023). <https://www.fao.org/faostat/en/#data/QCL>. [Online: 22 August 2023].
  19. Ghiasabadi, M., Khajeh Hosseini, M., & Mohammadabadi, A. (2014). The Study of Transplanting Date on Growth Analyses and Forage Yield of Maize (*Zea mays* L.) under Mashhad Conditions. *Iranian Journal of Field Crops Research*, 12(1), 137-145. (In Persian). <https://doi.org/10.22067/gsc.v12i1.36650>
  20. Haghjoo, M., & Bahrani, A. (2015). Evaluating yield variations of corn (single cross 260) at different water regimes and nitrogen rates by using of growth indices. *Journal of Crop Ecophysiology*, 9(2), 259-274. (in Persian with English abstract).
  21. Hosseini, S. H., RahemiKarizaki, A., Biabani, A., Nakhzari moghaddam, A., & Taliey, F. (2020). Investigation of changes in physiological characteristics and yield of Quinoa (*Chenopodium quinoa* Willd) under different cultivation date. *Crop Production*, 13(2), 99-116. (In Persian). <https://doi.org/10.22069/ejcp.2020.17953.2325>
  22. Jacobsen, S. E. (2017). The scope for adaptation of quinoa in Northern Latitudes of Europe. *Journal of Agronomy and Crop Science*, 203, 603-613. <https://doi.org/10.1111/jac.12228>
  23. Jacobsen, S. E., Liu, F., & Jensen, C. R. (2009). Does root-sourced ABA play a role for regulation of stomata under drought in quinoa (*Chenopodium quinoa* Wild.). *Horticultural Scientia*, 122, 281-28. <https://doi.org/10.1016/j.scienta.2009.05.019>
  24. Jamali, S., Shaifan, H., & Sajadi, F. (2019). The effect of different seawater and deficit irrigation regimes on leaf properties of quinoa. *Water and Irrigation Management*, 8(2), 177-191. (in Persian with English abstract). <https://doi.org/10.22059/jwim.2018.249473.585>
  25. Javadi, H., Rashed Mohassel, M. H., Zamani, Gh. R., Azari Nasrabad, A., & Mossavi, Gh. R. (2006). Effect of plant density on growth indices of four grain sorghum cultivars. *Iranian Journal of Field Crops Research*, 4(2), 253-266. (In Persian). <https://doi.org/10.22067/gsc.v4i2.1266>
  26. Jorfi, A., Alavifazel, M., Gilani, A., & Ardakani, M. R. (2022). Leaf Chlorophyll Changes and Morphological Features of Quinoa (*Chenopodium quinoa*) Cultivars by P-Zn Ratios in Greenhouse Condition. *Journal of Crop Nutrition Science*, 8(1), 1-16.
  27. Kakabouki, I. P., Roussis, I. E., Papastylianou, P., Kanatas, P., Hela, D., Katsenios, N., & Fuentes, F. (2019). Growth analysis of quinoa (*Chenopodium quinoa* Willd.) in response to fertilization and soil tillage. *Not Bot Horti Agrobo*, 47(4), 1025-1036. <https://doi.org/10.15835/nbha47411657>



28. Kansomjet, P., Thobunluepop, P., Lertmongkol, S., Sarobol, E., Kaewsuwan, P., Junhaeng, P., Pipattanawong, N., & Iván, M. T. (2017). Response of physiological characteristics, seed yield and seed quality of quinoa under difference of nitrogen fertilizer management. *American Journal of Plant Physiology*, 12, 20-27. <https://doi.org/10.3923/ajpp.2017.20.27>
29. Karimi, M., & Azizi, M. (1997). Basic growth analysis. *Jahad Daneshgahi of Mashhad Prees*. 111 P. (in Persian).
30. Kibe, A. M., Singh, S., & Kalra, N. (2006). Water–nitrogen relationships for wheat growth and productivity in late sown conditions. *Agricultural Water Management*, 84, 221-228. <https://doi.org/10.4314/jagst.v7i1.31716>
31. Koca, Y. O. (2021). Determination of the forage yield and growth parameters of maize (*Zea mays* L.) with quinoa (*Chenopodium quinoa*) intercropping at different plant mixtures. *Turk journal Field Crops*, 26(1), 44-53. <https://doi.org/10.17557/tjfc.877640>
32. Mohammadi, F., Maleki, A., & Fathi, A. (2021). Effects of Drought Stress and Humic Acid on Plant Growth, Yield Quality and Its Components of Quinoa (*Chenopodium quinoa* Willd). *Journal of Crop Nutrition Science*, 7(3), 11-23.
33. Molden, D., Murry-Rust, H., Sakthivandival, R., & Makin, I. (2001). *A water productivity framework for understanding and action*. Workshop on Water Productivity. Wadduwe, Sri Lanka, 12 -13 November.
34. Nadali, F., Asghari, H. R., Abbasdokht, H., Dorostkar, V., & Bagheri, M. (2022). Physiological Responses of Quinoa Varieties (*Chenopodium quinoa* Willd) to Hydropriming and Drought Stress. *Journal of Crop Production and Processing*, 12(2), 49-62. (in Persian with English abstract). <https://doi.org/10.47176/jcpp.12.2.36912>
35. Nadeem, T. M. H., Imran, M., Kamil, F., & Husain, M. (2002). Evaluation of sunflower *Helianthus annuus* L. inbred lines for drought tolerance. *International Journal of Agriculture and Biology*, 25, 398-400.
36. Navabpour, S., Latifi, N., Hosseini, S. H., & Kazemi, G. (2012). Evaluation of grain yield in relation to yield components and growth indices in wheat. *Crop Production*, 4(3), 157-173. (in Persian with English abstract). <https://dorl.net/dor/20.1001.1.2008739.1390.4.3.9.5>
37. Oneto, C. D., Otegui, M. E., Baroli, I., Beznec, A., Faccio, P., Bossio, E., Blumwald, E., & Lewi, D. (2016). Water deficit stress tolerance in maize conferred by expression of an isopentenyltransferase (IPT) gene driven by a stress- and maturation-induced promoter. *Journal of Biotechnology*, 220, 66-77. <https://doi.org/10.1016/j.jbiotec.2016.01.014>
38. Ozoni Davaji, A., Esfahani, M., Sami Zadeh, H., & Rabiei, M. (2008). Effect of planting pattern and plant density on growth indices and radiation use efficiency of apetalous flowers and petalled rapeseed (*Brassica napus* L.) cultivars. *Iranian Journal of Crop Sciences*, 9(4), 382-400. (in Persian with English abstract). <https://dorl.net/dor/20.1001.1.15625540.1386.9.4.7.9>
39. Ramesh, K. Suneetha Devi, K. B., Gopinath, K. A., & Uma Devi, M. (2017). Physiological Indices, Yield and Yield Attributes of Quinoa (*Chenopodium quinoa* Willd.) as Influenced by Dates of Sowing and Varied Crop Geometry. *International Journal of Current Microbiology and Applied Sciences*, 6(7), 1023-1034. <https://doi.org/10.20546/ijcmas.2017.607.123>
40. Reguera, M., Conesa, C., Gil-Gómez, A., Haros, C., Pérez-Casas, M., Briones-Labarca, V., ... & Bascañán-Godoy, L. (2018). The impact of different agroecological conditions on the nutritional composition of quinoa seeds. *Peer-reviewed Journal*, 14(6), 1-20. <https://doi.org/10.7717/peerj.4442>
41. Rowshani, R., Soleymani, A., Mahlooji, M., & Naderi, M. R. (2022). Evaluation of the effect of foliar application on some physiological indicators affecting the growth and yield of barley cultivars under drought stress conditions. *Journal of Crop Science Research in Arid Regions*, 3(2), 319-337. (in Persian with English abstract). <https://doi.org/10.22034/CSRAR.2022.297001.1111>
42. Ruiz, K. B., Biondi, S., Oses, R., Acuña-Rodríguez, I. S., Antognoni, F., Martinez-Mosqueira, E. A., Coulibaly, A., Canahua-Murillo, A., Pinto, M., Zurita-Silva, A., Bazile, D., Jacobsen, S. E., & Molina-Montenegro, M. A. (2014). Quinoa biodiversity and sustainability for food security under climate change. A review. *Agronomy for Sustainable Development*, 34, 349-359.
43. Sadeghzadeh, H., Khajoei-Nejad, G. R., & Ghanbari, J. (2021). Water use efficiency and quantitative and qualitative response of quinoa to different concentrations of salicylic acid application under deficit irrigation conditions. *Irrigation and Water Engineering*, 11(43), 345-360. (in Persian).
44. Salek Mearaji, H., Tavakoli, A., & Sepahvand, N. A. (2020). Evaluating the effect of cytokinin foliar application on morphological traits and yield of quinoa (*Chenopodium quinoa* Willd.) under optimal irrigation and drought stress conditions. *Journal of Crop Ecophysiology*, 14(4), 479-498. (in Persian with English abstract). <https://doi.org/10.30495/jcep.2021.679976>
45. Samadzadeh, A. R., Zamani, G. R., & Fallahi, H. R. (2020). Possibility of quinoa production under South-Khorasan climatic condition as affected by planting densities and sowing dates. *Applied Field Crops Research*, 33(1), 82-104. (In Persian). <https://doi.org/10.22092/aj.2020.125793.1392>
46. Sanodiya, L. K., Umesha, C., Mesharm, M. R., & Kumar, R. (2022). Influence of crop geometry and nitrogen levels on growth indices of quinoa (*Chenopodium quinoa* Willd.). *The Pharma Innovation Journal*, 11(3), 1003-1008.

47. Shahidi, A., Kashkuli, H. A. & Zamani, G. R. (2008). Interaction of deficit irrigation and salinity on yield and yield components of wheat cultivars and determining water salinity production function in the Birjand region. PHD Thesis. Shahid Chamran University of Ahwaz. 337 PP. (In Persian).
48. Shaifan, H., Jamali, S., & Sajadi, F. (2018). Investigation the effect of different salinity levels on the morphological parameters of quinoa (*Chenopodium quinoa* Willd.) under different irrigation regimes. *Journal of Water and Soil Science (Science and Technology of Agriculture and Natural Resources)*, 22(2), 15-27. (in Persian with English abstract). <https://doi.org/10.29252/jstnar.22.2.15>
49. Shirinnezhad, R., Torabi, M., & Mahmoudi, F. (2019). *Evaluation of compatibility of Quinoa cultivars in different planting dates and their effects on morphological, physiological and biochemical parameters*. 2nd international and 6th national conference on organic and conventional agriculture. University of Mohaghegh Ardabili. (in Persian with English abstract).
50. Shitikova, A. V., Kukharekova, O. V., & Khaliluev, M. R. (2022). The Crop Production Capacity of Quinoa (*Chenopodium quinoa* Willd.)- A New Field Crop for Russia in the Non-Chernozem Zone of Moscow's Urban Environment. *Agronomy*, 12(12), 3040. <https://doi.org/10.3390/agronomy12123040>
51. Soleymani, A. (2017). Effect of drought stress on some physiological growth indices of sunflower cultivars. *Environmental Stresses in Crop Science*, 10(4), 509-519. (in Persian with English abstract). <https://doi.org/10.22077/escs.2017.108.1028>
52. Sun, Y., Liu, F., Bendevis, M., Shabala, S., & Jacobsen, S. E. (2014). Sensitivity of two quinoa (*Chenopodium quinoa* Willd.) varieties to progressive drought stress. *Journal of Agronomy and Crop Science*, 200(1), 12-23. <https://doi.org/10.1111/jac.12042>
53. Vahedi, M. R., Tohidi Nejad, E., & Pasandi Pour, A. (2021). Evaluation of yield and yield components of quinoa (*Chenopodium quinoa* Willd) in as affected by different planting densities. *Journal of Crop Ecophysiology*, 15(4), 593-608. (in Persian with English abstract). <https://doi.org/10.30495/jcep.2022.689808>